

الاتحـاد الدولـي للاتصـالات

K.67

(2006/02)

ITU-T

قطاع تقييس الاتصالات
في الاتحاد الدولي للاتصالات

السلسلة K: الحماية من التداخلات

تقييم التموجات المتوقعة أن تسببها الصاعقة في شبكات
الاتصالات والتشويير

التوصيـة ITU-T K.67



الاتحاد الدولي للاتصالات

ITU

تقييم التمورات المتوقع أن تسببها الصاعقة في شبكات الاتصالات والتشوير

ملخص

تتضمن هذه التوصية خصائص (أشكال الموجات وقيم الذرّي) التمورات (الفلطية الزائدات والتيارات الزائدات) المتوقع أن تسببها الصاعقة على خطوط اتصالات شبكة النغاذ وعلى خطوط التشوير الموجودة في مقرات الزبائن التي تستعمل موصلات معدنية. وترد قيم التمورات المتوقعة هذه في شكل دالة لمجموعة معلمات تيار الصاعقة التي تعرف الصاعقة على أنها مصدر ضرر تسببه جميع أنماط الاقتران الكهرمغنتطي على أي خط اتصالات أو خط تشوير.

وتتيح هذه التوصية الفرصة أمام تقييم فعالية تدابير الحماية (مثل أجهزة الحماية من التمود) المعدة لغرض مقاومة تيار التمود المتوقع اندفاعه الكهربائي في النقطة التي يوجد فيها التركيب.

المصدر

وافقت لجنة الدراسات 5 (2005-2008) التابعة لقطاع تقييس الاتصالات بتاريخ 13 فبراير 2006 على التوصية ITU-T K.67. موجب الإجراء المحدد في التوصية A.8.

عبارات أساسية

الصاعقة، التيار الزائد، الفلطية الزائدات، التمود، نقطة الانتقال.

تمهيد

الاتحاد الدولي للاتصالات وكالة متخصصة للأمم المتحدة في ميدان الاتصالات. وقطاع تقييس الاتصالات (ITU-T) هو هيئة دائمة في الاتحاد الدولي للاتصالات. وهو مسؤول عن دراسة المسائل التقنية والمسائل المتعلقة بالتشغيل والتعرية، وإصدار التوصيات بشأنها بغرض تقييس الاتصالات على الصعيد العالمي.

وتحدد الجمعية العالمية لتقدير الاتصالات (WTSA)، التي تجتمع مرة كل أربع سنوات، المواضيع التي يجب أن تدرسها لجان الدراسات التابعة لقطاع تقييس الاتصالات وأن تصدر توصيات بشأنها.

وتتم الموافقة على هذه التوصيات وفقاً للإجراء الموضح في القرار رقم 1 الصادر عن الجمعية العالمية لتقدير الاتصالات.

وفي بعض مجالات تكنولوجيا المعلومات التي تقع ضمن اختصاص قطاع تقييس الاتصالات، تعد المعايير الازمة على أساس التعاون مع المنظمة الدولية للتوكيد القياسي (ISO) ولللجنة الكهربائية الدولية (IEC).

ملاحظة

تستخدم كلمة "الإدارة" في هذه التوصية لتدل بصورة موجزة سواء على إدارة اتصالات أو على وكالة تشغيل معترف بها. والتقييد بهذه التوصية اختياري. غير أنها قد تضم بعض الأحكام الإلزامية (بهدف تأمين قابلية التشغيل البيئي والتطبيق مثلاً). ويعتبر التقييد بهذه التوصية حاصلاً عندما يتم التقييد بجميع هذه الأحكام الإلزامية. ويستخدم فعل "يجب" وصيغة ملزمة أخرى مثل فعل "ينبغي" وصيغتها النافية للتعبير عن متطلبات معينة، ولا يعني استعمال هذه الصيغ أن التقييد بهذه التوصية إلزامي.

حقوق الملكية الفكرية

يسترجي الاتحاد الانتباه إلى أن تطبق هذه التوصية أو تنفيذها قد يستلزم استعمال حق من حقوق الملكية الفكرية. ولا يتخذ الاتحاد أي موقف من القرائن المتعلقة بحقوق الملكية الفكرية أو صلاحيتها أو نطاق تطبيقها سواء طال بها عضو من أعضاء الاتحاد أو طرف آخر لا تشمله عملية إعداد التوصيات.

وعند الموافقة على هذه التوصية، لم يكن الاتحاد قد تلقى إخطاراً بملكية فكرية تحميها براءات الاختراع يمكن المطالبة بها لتنفيذ هذه التوصية. ومع ذلك، ونظرًا إلى أن هذه المعلومات قد لا تكون هي الأحدث، يوصى المسؤولون عن تنفيذ هذه التوصية بالاطلاع على قاعدة المعطيات الخاصة براءات الاختراع في مكتب تقييس الاتصالات (TSB) في الموقع <http://www.itu.int/ITU-T/ipt/>.

© ITU 2006

جميع الحقوق محفوظة. لا يجوز استنساخ أي جزء من هذه المنشورة بأي وسيلة كانت إلا بإذن خطوي مسبق من الاتحاد الدولي للاتصالات.

المحتويات

الصفحة

1	مجال التطبيق	1
1	المراجع	2
2	التعريف	3
3	المختصرات	4
4	التشكيلة المرجعية	5
4	تدابير الحماية	6
4	الحماية المتضمنة	1.6
5	تدابير الحماية الأولية	2.6
5	التوصيل والتاريخ والتذريع	3.6
6	التمورات المتوقع أن تسببها الصاعقة	7
6	سقوط ومضات الصاعقة على المبني مباشرة (مصدر الضرر 1S): مرور تيار الصاعقة عبر خطوط الاتصالات أو التشوير التي تتخلل المبني (بنية البدالة أو بنية الزبون أو الموقع البعيد)	6
7	سقوط ومضات الصاعقة بالقرب من المبني أو عليه (مصدر الضرر 1S أو 2S): التمورات المستحثة في خطوط الاتصالات أو التشوير داخل المبني (بنية البدالة أو بنية الزبون أو الموقع البعيد)	2.7
7	ضرب الصاعقة مباشرة لخطوط الاتصالات أو التشوير	3.7
9	سقوط ومضات الصاعقة بالقرب من خطوط الاتصالات	4.7
10	الملحق A - التمورات المستحثة داخل المبني نتيجة سقوط الصاعقة بالقرب من المبني أو ضربها له	14
14	الجوانب العامة	1.A
14	سقوط الصاعقة بالقرب من المبني	2.A
19	ضرب الصاعقة للمبني	3.A
21	الملحق B - التمورات المستحثة داخل المبني نتيجة سقوط الصاعقة بالقرب من المبني أو ضربها له	21
25	التدليل الأول - التمورات المستحثة داخل المبني بفعل سقوط الصاعقة بالقرب من المبني أو عليه: التشكيلة التجريبية والنتائج	25
25	مقدمة	1.I
25	النموذج النظري	2.I
27	موقع الاختبار التجاريي وتشكيلة الاختبار	3.I
32	ببليوغرافيا	

الصاعقة هي مصدر **الفلطية** الزائدة والتيارات الزائدة الخطيرة على شبكات الاتصالات والتشوير (ضرب الصاعقة لهذه الشبكات بصورة مباشرة وغير مباشرة)، والحدث الذي تسببه التيارات المخطوبة في خطوط الكهرباء (بما فيها أنظمة التوزيع الكهربائي)، والتماس مع خطوط الكهرباء، وزيادة الطاقة الأرضية.

وتنطبق طرائق الحماية المسماة "تدابير الحماية" على "خطوط" النظام (مثل استعمال كبلات مدرعة بدلاً من غير المدرعة) أو على أجزاء معينة من النظام. وتدرج الطرائق الأخيرة عموماً ضمن نطاق الأصناف الثلاثة التالية:

- اتباع ممارسات تركيب من قبيل التوصيل، والتاريض، والتدريب داخل المرفق وعبر الخطوط الخارجية للتقليل من اقتران الطاقة الكهربائية للصاعقة بالخطأ؛

استعمال أجهزة حماية تحول دون وصول الطاقة الزائدة إلى الأجزاء الضعيفة إما بتحويل مسارها (كفجوات الشرر مثلًا) أو بواسطة قطع توصيل الخط (مثل الفواصم الكهربائية)؛ وتعُرف أجهزة الحماية هذه على أنها أجهزة "الحماية الأولية"؛

استعمال تجهيزات ذات شدة مناسبة فيما يتعلق بقطع التيار الكهربائي، وذات قدرة على نقل التيار ومعاوقة مناسبة تمكنها من مقاومة الظروف التي تتعرض لها؛ وتعُرف هذه الخاصية بأنها "الحماية الملزمة".

وستعمل أجهزة الحماية (الحماية الأولية) للوقاية من الفلطية الزائدة (أجهزة الحماية من التمور (SPD)، مثل واقيات الفجوات الموئية ذات الأقطاب الكربونية أو المعدنية؛ أنابيب التفريغ الغازى (GDT)، أجهزة الحماية شبه الموصلة) والوقاية من التيارات الزائدة (مثل الفواصم الكهربائية، والملفات الحرارية، والواقيات ذاتية الاستعادة المضادة لزيادة التيار، والوصلات القابلة للانصهار).

وبغية تحديد مكونات وأجهزة الحماية، ثمة حاجة إلى تقييم التهديد الذي تمثله التمورات في نقاط تركيب هذه المكونات والأجهزة تحديداً. ويجب ألا يتعدى تحديد هذه التمورات سوية مقاومة مكونات وأجهزة الحماية المتأثرة. وتحدد سوية المقاومة هذه بواسطة اختبارات ملائمة.

وتتناول هذه التوصية التمورات التي يُتوقع أن تسببها الصاعقة لشبكات الاتصالات والتشوير في مختلف نقاط تركيب مكونات وأجهزة الحماية هذه.

وستند بعض الصيغ أو الافتراضات المتعلقة بتقييم التمورات المتوقعة إلى قيم تقريرية بحثة، ويمكن تحسينها بمزيد من التنقيح.

تقييم التمورات المتوقع أن تسببها الصاعقة في شبكات الاتصالات والتشوير

مجال التطبيق

1

يتمثل نطاق تطبيق هذه التوصية في تحديد التمورات (الفلطية الزائدة والتيارات الزائدة) المتوقع أن تسببها الصاعقة في مختلف نقاط انتقال شبكة الفايز إلى الاتصالات وخطوط التشوير خارج البناء وداخلها على حد سواء، أي بنيات الريان الحاوية للبدالات والمواقع البعيدة عنهم.

ويتعلق موضوع هذه التوصية بآثار الفلطية الزائدة والتيارات الزائدة للصاعقة على شبكات الاتصالات والتشوير التي تستعمل موصلات معدنية نظراً لأن الصاعقة مصدر ضرر يعتمد على موقع نقطة ضرب الصاعقة بالنسبة إلى الخط المعنى (انظر 6.3).

وتحدد التمورات المتوقعة بواسطة قيم ذروتها وأشكال موجاتها بوصفها دالة لسوية الحماية من التمور (SPL، انظر الفقرة 7.3) لكل نمط (S_1 و S_2 و S_3 و S_4) من أنماط مصادر الضرر (انظر 6.3)، على فرض أن يكون شكل موجة التمورات المتوقعة بأس مزدوج يُوصف بزمن ارتفاعه، (T_1)، وزمن الخفاضه إلى نصف القيمة (T_2). وتتيح هذه التوصية تقييم فعالية تدابير الحماية (مثل أجهزة الحماية من التمور) المعدة لعرض مقاومة تيار التمور المتوقع في النقطة التي يوجد فيها التركيب.

المراجع

2

تحتوي التوصيات التالية وغيرها مما صدر عن القطاع ITU-T بعض الأحكام التي تشكل أحکاماً في هذه التوصية، موجب الإحالـة إليها في النص. وفي تاريخ نشر هذه التوصية كانت الطبعات المذكورة لا تزال صالحة. ولكن، بما أن جميع التوصيات والمراجع الأخرى خاضعة لإعادة النظر، نشجع مستعملي هذه التوصية على السعي إلى تطبيق أحدث صيغ التوصيات والمراجع الأخرى الواردة في القائمة أدناه. ويجرى بانتظام نشر قائمة التوصيات السارية الصلاحية التي تصدر عن القطاع ITU-T. ولذا فإن الإحالـة داخل هذه التوصية إلى وثيقة ما، لا تضفي على هذه الوثيقة صفة توصية.

[1] الفصل 10 من كتبـيات القطاع ITU-T بشأن الحماية من الصاعقة (1995)، قياس الفلطـية الزائدة والتـيارـات الزائدة عبر خطوط اتصـالـات المشـترـكـ.

[2] التـوصـية ITU-T K.46 (2003)، حـماـية خطـوط الـاتـصالـات الـتـي تـسـتـعـمـل موـصـلـات تـنـاظـرـية مـعـدـنـية مـنـ التـمـورـاتـ الـتـي تـسـبـبـها الصـوـاعـقـ.

[3] التـوصـية ITU-T K.47 (2000)، حـماـية خطـوط الـاتـصالـات الـتـي تـسـتـعـمـل موـصـلـات مـعـدـنـية مـنـ الصـوـاعـقـ المـباـشـرةـ.

[4] التـوصـية ITU-T K.56 (2003)، حـماـية المـحـطـات الـأـسـاسـية الرـادـيوـية مـنـ التـفـريـغ الـكـهـرـبـائـيـ للـصـاعـقـةـ.

[5] المـعيـار 1-62305: (2006)، الصـادر عنـ اللـجـنة الـكـهـرـتـقـنـيـة الدـولـيـة (IEC)، الحـماـية منـ الصـاعـقـةـ -ـ الجـزـء 1ـ:ـ المـبـادـئـ العـامـةـ.

[6] المـعيـار 2-62305: (2006)، الصـادر عنـ اللـجـنة الـكـهـرـتـقـنـيـة الدـولـيـة (IEC)، الحـماـية منـ الصـاعـقـةـ -ـ الجـزـء 2ـ:ـ إـدـارـةـ الـمـخـاطـرـ.

[7] المـعيـار 4-62305: (2006)، الصـادر عنـ اللـجـنة الـكـهـرـتـقـنـيـة الدـولـيـة (IEC)، الحـماـية منـ الصـاعـقـةـ -ـ الجـزـء 4ـ:ـ الشـبـكـاتـ الـكـهـرـبـائـيـةـ وـالـإـلـكـتـرـوـنـيـةـ دـاخـلـ الـبـنـاءـ.

تعرف هذه التوصية المصطلحات التالية:

1.3 فلطية التمُور الخطير الناجم عن الصاعقة: هي فلطية تمُور بقيمة ذروة U_p أكبر أو مساوية لسوية مقاومة فلطية تمُور التجهيزات أو عزل موصل خط الاتصالات.

2.3 الزمن المكافئ للتناقص إلى نصف القيمة (T_2) [1]: زمن تناقص نبع الفلطية أو شدة التيار إلى نصف القيمة (T_2) هو الفاصل الزمني بين الأصل التقديرى وأول لحظة تناقص فيها الفلطية أو التيار إلى نصف قيمة الذروة. (يتمثل الأصل التقديرى لنبع الفلطية أو التيار في اللحظة التي تسبق تلك التي تبلغ فيها نسبة الفلطية أو شدة التيار 30% أو 10% من قيمة ذروة بما يبلغ 0,3 أو 0,1 على التوالي)

3.3 زمن الارتفاع أو زمن الزيادة (T_1) [1]: يُعرف زمن ارتفاع نبع الفلطية أو زمن زيا遁ها T_1 على أنه الزمن المكافئ لما مقداره 1,67 مرة، الفاصل الزمني بين اللحظتين اللتين تبلغ فيما نسبتا البعض 30% و90% من قيمة الذروة. أما زمن الزيادة T_1 لنبع شدة التيار، فيُعرف بوصفه مكافئاً لما مقداره 1,25 مرة، الفاصل الزمني بين اللحظتين اللتين تبلغ فيما نسبتا البعض 10% و90% من قيمة الذروة.

4.3 سوية الحماية من الصاعقة (LPL): هي عبارة عن مجموعة معلمات تحدد سويات الحماية من مصادر الضرر المتمثلة في تيار الصاعقة [4].

ملاحظة - يُستعان بسوية الحماية من الصاعقة في تصميم مكونات الحماية من الصاعقة (مثل المقاطع المستعرضة للموصلات، وسمك الصفائح المعدنية، ومقدرة التيار المسموح بها داخل أجهزة الحماية من التمُور (SPD)، والمسافة الفاصلة عن الشرر الخطير) وفي تحديد معلمات اختبار تحاكي آثار الصاعقة على هذه المكونات، وذلك وفقاً للمجموعة المعنية من معلمات تيار الصاعقة. ويرد في المعايير 62305 الصادرة عن اللجنة الكهربافية الدولية (IEC) أربع سويات للحماية من الصاعقة (LPL) (من I إلى IV)، وتُحدد لكل سوية منها مجموعة من القيم القصوى لمعلمات تيار الصاعقة (الجدول 1).

5.3 قيمة الذروة (x_p) [1]: تُعرف قيمة ذروة (x_p) فلطية/تيار التمُور على أنها القيمة القصوى الملاحظة أثناء التمُور.

6.3 مصدر الضرر: يعتمد هذا المصدر على موقع نقطة ضرب الصاعقة بالنسبة إلى الخط المعنى، وذلك كالتالي:

- مصدر الضرر S_1 : ومضات الصاعقة على المبني (بنية البدالة أو بنية الزبون أو الموقع البعيد) الذي يتخالله خط الاتصالات أو التشوير؛

- مصدر الضرر S_2 : ومضات الصاعقة بالقرب من المبني (بنية البدالة أو بنية الزبون أو الموقع البعيد) الذي يتخالله خط الاتصالات أو التشوير؛

- مصدر الضرر S_3 : ومضات الصاعقة على خطوط الاتصالات التي تخلل المبني (بنية البدالة أو بنية الزبون أو الموقع البعيد)؛

- مصدر الضرر S_4 : ومضات الصاعقة بالقرب من خطوط الاتصالات التي تخلل المبني (بنية البدالة أو بنية الزبون أو الموقع البعيد)؛

7.3 سوية الحماية من التمُور (SPL): هي قيم ذروة وأشكال موجات ما يتوقع من فلطيات أو تيارات خطيرة للتمُور يمكن أن يظهر في نقاط مختلفة من شبكات الاتصالات بسبب تيار الصاعقة الذي هو مصدر ضرر.

ملاحظة - تتضمن هذه التوصية ثلاثة سويات (SPL) (من I إلى III) للحماية من التمُور، وتُقدر لكل سوية منها قيم الذرى وأشكال الموجات المتوقعة للفلطيات والتيارات الخطيرة للتمُور.

8.3 درجة انحدار الارتفاع أو معدل سرعة الزيادة (S) [1]: درجة انحدار الارتفاع أو معدل سرعة الزيادة (S) هو متوسط سرعة تغير الفلطية أو التيار، الذي يمكن تحديده بواسطة النسبة بين قيمة الذروة x_p وزمن الارتفاع T_1 بتطبيق المعادلة التالية:

$$(1) \quad S = \frac{x_p}{T_1}$$

9.3 التمور: هو زيادة وقتية في الفلطية أو التيار الكهربائيين المترابعين بخط اتصالات، أو زيادة في كليهما، بسبب مصدر كهربائي خارجي.

الملاحظة 1 - المصادر الكهربائية المعتمدة هي الصاعقة وشبكات الكهرباء بالتيار المتداوب/التيار المستمر.

الملاحظة 2 - اقتران المصدر الكهربائي يمكن أن يكون واحداً أو أكثر من الأنماط التالية: مجال كهربائي (اقتران سعوي)، و المجال مغناطيسي (اقتران حيّ)، و المجال توصيلي (اقتران مقاوم)، و المجال كهرمغناطيسي.

10.3 التمور الناجم عن الصاعقة: هو تمور تسببه الصاعقة نتيجة لأي نمط من أنماط الاقتران الكهرمغناطيسي (التوصيلي والحيي والسعوي).

ملاحظة - يسمى هذا التمور بالمعلمات الخمس الآتية: قيمة الذروة، وزمن الزيادة (T_1)، وزمن التناقص إلى نصف القيمة، T_2 ، (أو معلمي الزمن T_2/T_1)، ودرجة الانحدار، والطاقة المحددة.

11.3 جهاز الحماية من التمُور (SPD): هو جهاز يقيِّد الفلطية التي يسببها التمُور في منفذ أو منفذ معينة، عندما تتجاوز سوية مسبقة التحديد.

الملاحظة 1 - جهاز الحماية من التمُور (SPD) هو توليفة تجمع بين دارة حماية ومحملها.

الملاحظة 2 - يمكن تزويد الجهاز بوظائف ثانوية، مثل تقييد التيار ضمن حدود تقييد التيار في مطراف.

الملاحظة 3 - تضم دارة الحماية عادة مكونة واحدة على الأقل للحماية من التمُور ومقيدة للفلطية وغير خطية.

4 المختصرات

تستعمل هذه التوصية المختصرات التالية:

شبكة تأريض (Bonding Network) BN

شبكة تأريض مشتركة (Common Bonding Network) CBN

بدالة (Exchange) E

سوية الحماية من الصاعقة (Lightning Protection Level) LPL

إطار التوزيع الرئيسي (Main Distribution Frame) MDF

مطراف التأريض الرئيسي (Main Earthing Terminal) MET

انتهائية شبكة (Network Termination) NT

مشترك (Subscriber) S

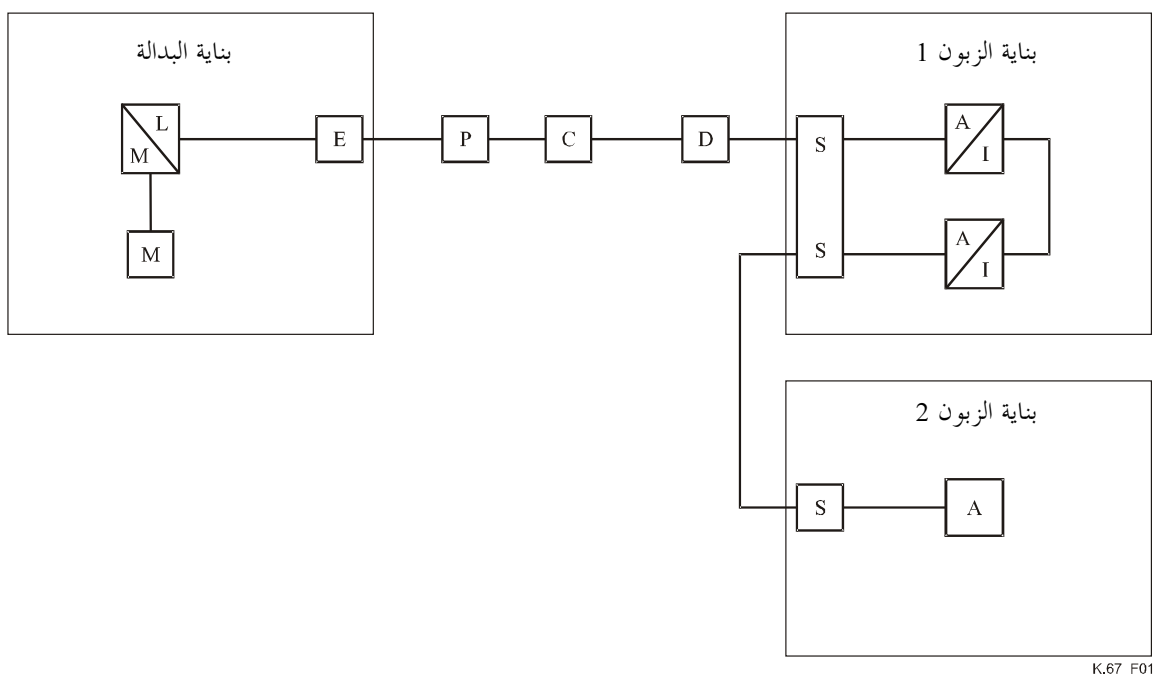
جهاز الحماية من التمُور (Surge Protective Device) SPD

سوية الحماية من التمُور (Surge Protection Level) SPL

يبين الشكل 1 التشكيلة المرجعية لخطوط الاتصالات التي تستعمل موصلات معدنية متناظرة حيث يمكن رؤية العقد المرجعية وأقسام الكبلات التي تدخلها.

ويمكن وصف نقاط الانتقال المحددة في الشكل 1 كالتالي:

- نقطة الانتقال L: انتقال بين السطح البيني لتجهيزات التبديل الموجودة داخل البناءة والكبلات الخارجية;
- نقطة الانتقال E: مدخل البدالة، مثل إطار التوزيع الرئيسي (MDF);
- نقطة الانتقال P: انتقال بين الكبلات المدفونة بعوازل ورقية والكبلات المدفونة بعوازل بلاستيكية;
- نقطة الانتقال C: انتقال بين الكبلات المدفونة والكبلات الهوائية;
- نقطة الانتقال D: انتقال بين الكبلات الهوائية المدرعة والكبلات الهوائية غير المدرعة;
- نقطة الانتقال S: مدخل بناءة الزبون;
- نقطة الانتقال A: انتقال بين السطح البيني لتجهيزات الموجودة داخل بناءة الزبون والكبلات الخارجية;
- نقطة الانتقال M: انتقال بين السطح البيني لتجهيزات التبديل الموجودة داخل البناءة والكبلات الداخلية;
- نقطة الانتقال I: انتقال بين السطح البيني لتجهيزات الموجودة داخل بناءة الزبون والكبلات الداخلية؛



الشكل 1/ K.67 – التشكيلة المرجعية

تدابير الحماية

6

الحماية المتضمنة

1.6

تطلب حماية التجهيزات والحد من مخاطر الإضرار بها استعمال تجهيزات ذات قوة عزل كهربائي وقدرة على نقل التيار ومقاومة مناسبة لتمكن من مقاومة الظروف التي تتعرض لها (أي، الخصائص الملزمة للتجهيزات والمتمثلة في قدرتها على المقاومة).

ومتطلبات القدرة على المقاومة لتجهيزات الاتصالات المستعملة في مختلف نقاط شبكات الاتصالات هي متطلبات محددة في التوصيات K.20 و K.45 الصادرة عن قطاع تقدير الاتصالات في الاتحاد (ITU-T) فيما يتعلق بتجهيزات التبديل المركبة داخل البناء في حالتي تجهيزات شبكة النفاذ والتجهيزات الموجودة داخل بناء الربون على التوالي.

وقدرة المقاومة هذه من وجهة نظر الحماية من الصاعقة هي قدرة تمكن التجهيزات من مقاومة معظم التمورات المستحثة التي تسببها الصاعقة بالقرب من الخط (انظر 4.7). ونظراً إلى أن هذه التمورات كثيرة التواتر بالمقارنة مع غيرها، فإن تطبيق تدابير حماية إضافية (الحماية الأولية) يقتصر على المنشآت "المعرضة لخطها" والخاضعة لعملية تقييم مخاطر التمور [2, 3, 6]

2.6 تدابير الحماية الأولية

يجول تطبيق تدابير الحماية الأولية دون وصول الطاقة الزائدة إلى الأجزاء الضعيفة لمنشآت الاتصالات والتشوير (مثل عوازل التجهيزات والموصلات). وتحقيقاً لهذه الغاية، يتعين تركيب الحماية الأولية فيها بطريقة ملائمة وانتقاء خصائصها كما ينبغي.

وتتوقف فعالية الحماية الأولية على قدرتها على توصيل تيارات التمور (في أجهزة تحديد الفلطية مثل أنابيب التفريغ الغازى (GDT)) أو على مقاومتها لفلطية التمور (في أجهزة تحديد التيار مثل الفواصم). وترتدي الجدول 1 معلمات الصاعقة التي تحدد القيم القصوى لفلطيات وتيرات التمور كدالة لسوية الحماية من الصاعقة (LPL). وتقترن قيم فلطيات وتيرات التمور هذه بسويات الحماية من التمور (SPL) الآتية: I = SPL III = 0,02 II = SPL II = 0,01 III = SPL I = 0,05 المعبرة عن احتمالات ارتفاع قيمة فلطيات وتيرات التمور الخطيرة إلى أكثر من قيمة الذروة المصاحبة أو إلى قيمة مكافئة لها.

الجدول 1 K.67 – القيم القصوى لمعلمات الصاعقة وفقاً لسوية LPL

السوية LPL				الوحدة	الرمز	معلومات التيار
IV (%95)	III (%98)	II (%99)	I (%99)			
100	150	200	kA	I _p	تيار الذروة	أول تفريغ قصير
50	75	100	C	Qshort	شحنة تفريغ قصيرة	
2 500	5 625	10 000	kJ/Ω	R/W	طاقة محددة	
350/10			μs/μs	T ₂ /T ₁	معلومات الوقت	
25	37,5	50	kA	I _p	تيار الذروة	تفريغ قصير لاحق
100	150	200	μs/kA	dt/di	متوسط الانحدار	
100/0,25			μs/μs	T ₂ /T ₁	معلومات الوقت	
100	150	200	C	Qlong	شحنة تفريغ طويل	تفريغ طويل
0,5			s	Tlong	معلومات الوقت	
150	225	300	C	Qflash	شحنة الوميض	وميض

3.6 التوصيل والتاريخ والتدرير

يؤدي استعمال تقنيات التركيب التي توفر التوصيل والتاريخ والتدرير إلى تقليل الاقتران بين الصاعقة وخط الاتصالات. وفي حالة ضربت الصاعقة الخط مباشرة أو بالقرب منه، تقوم شبكة التاريخ المشتركة (CBN) في المبنى وتجهيزات شبكات التاريخ (BNs) بتبييد تيار الصاعقة لتتمكن بذلك تدريج الخطوط الداخلية. وتغليف التجهيزات تعليقاً كاملاً بدروع أو تغليفها داخل قنوات يمكن أن يقلل بشكل فعال من الفلطية أو التيار المترن بموصلات الاتصالات. ومعاونة الانتقال هي المعلمة المهمة بالنسبة لفعالية تدريج الكيل التي تساوي تقريراً بالنسبة للذروع الصلبة المقاومة لترددات الصاعقة مقاومة التدرير (تيار مستمر).

وتشكل تدابير الحماية الأولية مجتمعة مع تدابير التوصيل والتاریض حاجزاً كهرمغنتیسیاً لحماية المراقب يقلل تغلل التداعيات الكهرمغنتیسیة الوافدة إلى المراقب من الخارج.

7 التمورات المتوقع أن تسببها الصاعقة

1.7 سقوط ومضات الصاعقة على المبني مباشرة (مصدر الضرر S1): مرور تيار الصاعقة عبر خطوط الاتصالات أو التشویر التي تتخلل المبني (بنایة البدالة أو بنایة الزبون أو الموقع البعید)

يمـر تيار الصاعقة الناجـم عن تفريـغه بالـمبـني مـباـشـرة في نـظـام تـأـريـضـ المـبـنيـ والـخـدـمـاتـ الدـاخـلـةـ فـيـهـ. وـعـلـيـهـ، يـدـخـلـ جـزـءـ مـنـ هـذـاـ التـيـارـ دـاـخـلـ درـعـ الـكـبـلـ أوـ موـصـلـاتـ كـبـلـ خـطـ الـاتـصـالـاتـ أوـ التـشـوـيـرـ مـباـشـرةـ أوـ عـبـرـ أـجـهـزـةـ الـحـمـاـيـةـ مـنـ التـمـورـ (SPD)ـ المـوـصـولـةـ هـاـ، لأنـ الـكـبـلـ هوـ أـحـدـ الـخـدـمـاتـ الـكـائـنـ دـاـخـلـ المـبـنيـ.

وتـرـدـ مـعـلـمـاتـ تـيـارـ الصـاعـقـةـ فـيـ الجـدـولـ 1ـ فـيـماـ يـخـصـ أـوـلـ تـفـرـيـغـ قـصـيرـ بـوـصـفـهـ دـالـةـ لـلـسـوـيـةـ LPLـ الـمـنـتـقـاةـ. وـبـنـاءـ عـلـىـ ذـلـكـ، يـُـوـصـفـ تـيـارـ الصـاعـقـةـ الـمـتـغـلـلـ دـاـخـلـ خـطـ الـاتـصـالـاتـ أوـ التـشـوـيـرـ بـشـكـلـ مـوـجـةـ قـدـرـهـ 350/10 μsـ بـيـنـماـ يـُـوـصـفـ قـيـمـةـ ذـرـوـتـهـ بـالـمـقـدـارـ I_fـ.

وـكـيـمـيـةـ تـقـرـيـبـيـةـ أـوـلـيـ، يـكـنـ اـفـتـرـاضـ أـنـ مـاـ نـسـبـتـهـ 50%ـ مـنـ تـيـارـ الصـاعـقـةـ (I)ـ يـمـرـ فـيـ نـظـامـ اـنـتـهـائـيـةـ الـأـرـضـ فـيـ حـيـنـ يـتـمـ تـقـاسـمـ النـسـبـةـ المـتـبـقـيـةـ مـنـهـ (50%)ـ بـيـنـ خـدـمـاتـ nـ الـمـتـغـلـلـةـ دـاـخـلـ المـبـنيـ.

وـإـذـ كـانـ خـطـ الـاتـصـالـاتـ أوـ التـشـوـيـرـ دـاـخـلـ غـيـرـ مـدـرـعـ وـلـاـ مـسـيـرـ دـاـخـلـ قـناـةـ مـعـدـنـيـةـ، يـقـومـ كـلـ موـصـلـ مـنـ موـصـلـاتـ mـ الـتـابـعـةـ لـلـخـطـ بـنـقـلـ جـزـءـ مـتـسـاوـ (I_f)ـ مـنـ تـيـارـ الصـاعـقـةـ فـيـ ذـرـوـتـهـ وـيـكـنـ تـقـيـيـمـهـ بـتـطـبـيقـ الـمـعـادـلـةـ التـالـيـةـ:

$$(2) \quad \text{لـخـطـ غـيـرـ مـدـرـعـ} \quad I_f = \frac{0.5 \times I_p}{n \times m}$$

أـمـاـ فـيـماـ يـنـعـلـقـ بـالـخـطـوـطـ الـمـدـرـعـةـ الـدـاخـلـةـ (أـوـ الـمـسـيـرـةـ دـاـخـلـ قـناـةـ مـعـدـنـيـةـ)ـ وـالـمـؤـرـضـةـ عـنـ دـخـلـ المـبـنيـ، فـتـحـسـبـ قـيـمـ ذـرـوـتـهـ (If)ـ التـيـارـ الـمـتـغـلـلـ دـاـخـلـ كـلـ موـصـلـ مـنـ موـصـلـاتـ mـ بـتـطـبـيقـ الـمـعـادـلـةـ الـآـتـيـةـ:

$$(3) \quad \text{لـخـطـ مـدـرـعـ} \quad I_f = \frac{0.5 \times I_p \times R_s}{n \times (m \times R_s + R_c)}$$

حيـثـ:

R_s = المـقاـوـمـ بـالـأـوـمـ لـوـحـدـةـ طـوـلـ الدـرـعـ أـوـ الـقـناـةـ الـمـعـدـنـيـةـ؛

R_c = المـقاـوـمـ بـالـأـوـمـ لـوـحـدـةـ طـوـلـ الـمـوـصـلـ.

وـتـنـتـنـاسـ فـلـطـيـةـ الـدـارـةـ الـمـفـتوـحةـ بـيـنـ أـحـدـ الـمـوـصـلـاتـ وـمـطـرـافـ التـارـيـضـ (MET)ـ تـقـرـيـباـًـ مـعـ نـاتـجـ مـقاـوـمـةـ التـارـيـضـ وـالـجـزـءـ مـنـ تـيـارـ الصـاعـقـةـ الـمـارـ بـشـبـكـةـ التـارـيـضـ إـذـ كـانـ الـكـبـلـ غـيـرـ مـدـرـعـ. أـمـاـ إـذـ كـانـ الـكـبـلـ مـدـرـعـاـ، فـإـنـ فـلـطـيـةـ الـدـارـةـ الـمـفـتوـحةـ بـيـنـ أـحـدـ الـمـوـصـلـاتـ وـمـطـرـافـ METـ الـمـوـصـلـ بـتـارـيـضـهـ بـالـكـبـلـ مـدـرـعـ تـنـتـنـاسـ تـقـرـيـباـًـ مـعـ نـاتـجـ مـقاـوـمـةـ التـارـيـضـ وـمـعـ جـزـءـ مـنـ تـيـارـ التـفـرـيـغـ الـمـارـ بـالـدـرـعـ وـالـمـحـدـدـ بـفـلـطـيـةـ قـطـعـ الـمـوـصـلـاتـ الرـئـيـسـيـةـ بـالـنـسـبـةـ إـلـىـ الدـرـعـ (مـثـلـ 5 kV). وـفـيـ حـالـ تـارـيـضـ الـدـرـعـ دـوـرـيـاـ، يـعـرـضـ تـيـارـ الـدـرـعـ لـلـتـوـهـيـنـ وـهـوـ يـتـنـشـرـ بـعـيـداـًـ عـنـ نـقـطـةـ الصـعـقـ. وـيـؤـديـ اـنـتـشـارـ التـمـورـ عـلـىـ اـمـتدـادـ الـكـبـلـ إـلـىـ حدـوثـ تـشـتـتـ وـزـيـادـةـ وـقـتـ إـلـخـمـادـ.

وـحتـىـ إـنـ رـُـوعـيـ اـحـتمـالـ تـأـيـنـ الـأـرـضـ بـالـقـرـبـ مـنـ الـأـقـطـابـ، مـنـ الـمـحـتمـلـ أـنـ تـكـونـ جـسـامـةـ الـفـلـطـيـةـ النـاجـمـةـ عـالـيـةـ بـمـاـ فـيـهـ الـكـفـاـيـةـ لـتـأـمـيـنـ الـحـمـاـيـةـ الـأـوـلـيـةـ أـوـ فـيـ حـالـ عـدـمـ وـجـودـ حـمـاـيـةـ تـؤـديـ إـلـىـ تـعـطـلـ عـزـلـ الـمـوـصـلـاتـ. وـعـلـيـهـ لـاـ تـؤـخـذـ فـيـ الـحـسـبـانـ إـلـيـرـاءـاتـ الـمـبـيـنةـ بـالـتـفـصـيـلـ لـحـسـابـ فـلـطـيـةـ الـذـرـوـةـ. وـيـنـطـبـقـ ذـلـكـ عـلـىـ خـطـوـطـ الـاتـصـالـاتـ غـيـرـ مـدـرـعـةـ وـخـطـوـطـ مـدـرـعـةـ عـلـىـ حدـ سـوـاءـ.

2.7 سقوط ومضات الصاعقة بالقرب من المبني أو عليه (مصدر الضرر S1 أو S2): التمورات المستحثة في خطوط الاتصالات أو التشوير داخل المبني (بنية البدالة أو بنية الزبون أو الموقع البعيد)

يؤدي سقوط وميض الصاعقة بالقرب من مبني ما أو عليه إلى استحداث فلطيات التموج بالأسلوب الشائع في خطوط الاتصالات أو التشوير داخل المبني (بنية البدالة أو بنية الزبون أو الموقع البعيد) بسبب المشتقة الزمنية لتيار الصاعقة (dt/di). ويُحصل على قيمة ذروة V_{io} الفلطية المستحثة للدارة المفتوحة بتطبيق المعادلة الآتية:

$$(4) \quad V_{io} = L_M \times \frac{di}{dt} = L_M \times \frac{I_p}{T_1}$$

حيث:

L_M = الاستحداث المتبادل بين العروة المستحثة وتيار الصاعقة؛

I_p = قيمة ذروة تيار الصاعقة؛

T_1 = زمن زيادة تيار الصاعقة.

وعلمة تيار الصاعقة هي متوسط درجة الانحدار (dt/di)، الذي يتم الحصول عليه بواسطة النسبة بين قيمة الذروة (I_p)، وزمن الزيادة (T_1) (انظر 8.3 حالات التفريغ اللاحقة (أسوأ حالة) المبينة في الجدول 1 بوصفها دالة لسوية LPL المتنقلة.

ويتوقع أن يكون لشكل موجة الفلطية المستحثة للدارة المفتوحة مدة قصيرة جداً (تبلغ بعض وحدات μs ، مثل $2 \mu s$ إلى $10 \mu s$) وزمن زيادة مماثل لزمن التفريغ اللاحق (أي، $0,25 \mu s$)، مثلما تبين ذلك القياسات الواردة في التذيل I للفلطية المستحثة داخل عروة منقوله بفعل إطلاق الصاعقة.

وقيمة ذروة تيار الدارة القصيرة (I_{sc}) في حال إهمال مقاومة أسلاك العروة المحسوبة بالألومنيوم (أسوأ حالة) هي قيمة تُقدر بتطبيق المعادلة التالية:

$$(5) \quad I_{sc} = \frac{V_{oi} \times T_1}{L_S}$$

أو المعادلة

$$(6) \quad I_{sc} = \frac{L_M}{L_S} \times I_p$$

حيث:

L_S = الاستحداث الذاتي للعروة المستحثة.

وفيمما يتعلق بشدة تيار الدارة القصيرة (I_{sc})، فإن علامة تيار الصاعقة هي قيمة ذروة (I_p) أولى حالات التفريغ (أسوأ حالة) المبينة في الجدول 1 كدالة لسوية LPL المتنقلة. ويتمثل شكل موجتها في شكل موجة تيار الصاعقة (انظر التذيل I)، وعليه، تُوصف مدهها في أسوأ الحالات بشكل موجة بقيمة $350/10 \mu s$.

وتعد في الجدول 2 قيم ذروة توتر الدارة المفتوحة (V_{oi}) الناجمة عن حالات التفريغ اللاحقة، وتيار الدارة القصيرة (I_{sc}) الناشئ عن أولى حالات التفريغ فيما يخص مختلف قيم سوية الحماية من التموج (SPL). وقدرت هذه القيم على غرار ما هو مبين في القسمين الفرعيين 2.A و 3.A من الملحق A لعروة غير مدرعة. مساحة قدرها $50 m^2$ ($m = 10$) موضوعة داخل بنية غير مدرعة.

الجدول K.67/2 - فلطيات الدارة المفتوحة وتيارات الدارة القصيرة لكل موصل التي يتوقع حدوثها في مختلف عقد خط الاتصالات أو التشوير بفعل سقوط ومضات الصاعقة على المبني مباشرة (s_1) وعلى خط الاتصالات (s_3) وبالقرب من المبني (s_2)

مضات مباشرة على خط الاتصالات مصدر الضرر S_3	سقوط الومضات قرب المبني مصدر الضرر S_2	سقوط ومضات الصاعقة على المبني مباشرة مصدر الضرر S_1	
العقد A, S, D, C	العقد P, E, L	العقد L و M و I_1 (الملاحظة 1) (انظر الجدول A)	العقد L و A و M و I (الملاحظة 1) (موصل 1 سفلي فقط) (انظر الجدول 2.A)
(جزء من تيار الصاعقة المباشر) شكل الموجة: $\mu s 350/10 [kA]$	(جزء من تيار الصاعقة المباشر) شكل الموجة: $\mu s 350/10 [kA]$	(تيار المستحث بفعل أول تفريغ) شكل الموجة: $\mu s 350/10 [kA]$	(تيار المستحث بفعل حالات التفريغ اللاحقة) شكل الموجة: $\mu s 2/0,25 [kV]$
المعادلة (12) أو (14)	0,50 (الملاحظة 2)	0,1	5
المعادلة (12) أو (14)	0,50 (الملاحظة 2)	0,07	3,5
المعادلة (12) أو (14)	0,50 (الملاحظة 2)	0,05	2,2
الملاحظة 1 - شروط الحساب: مبنى غير مدرع؛ خط مستحث غير مدرع؛ أبعاد العروة: $50 \text{ m} = e$ ؛ $m = 5 = h$ ؛ نصف قطر موصل العروة: $mm 0,5$.		6	250
الملاحظة 2 - يمكن في حالات معينة تطبيق المعادلة (12) أو (14). يعتبر هبوط التوتر من الخط إلى الأرض مساوياً لمقدار 100 kv ويمر الخط بدارة قصيرة إلى الأرض عند سوية أول نقطة مرغوبة.		4,5	190
وفيما يتعلق بأي خط مستحث ذي عروة مختلفة ولكنها متساحة مطابقة لطول العروة (e), يجب أن تُضرب قيم فلطية التمور الواردة في الجدول 2 بالعامل التالي (K_r):		3	125

$$(7) \quad (A) \text{ هي مساحة العروة مقيسة بالأمتار المربعة } (m^2) \quad K_r = A/50$$

ويتيح تطبيق المعادلة (5) تقدير تيار الدارة القصيرة (I_{sc}), وحساب قيمة الاستحثاث الذاتي (L_s) للعروة الجديدة.

وبالنسبة للخطوط المدرعة يمكن تقليل قيم فلطيات التمور الواردة في الجدول 2 بواسطة العامل K_{ss3} المبين في المعادلة الآتية:

$$(8) \quad K_{ss3} = K_r \times K_{ss}$$

حيث:

$$(9) \quad K_{ss} = \frac{V_{cs}}{V_{io}}$$

V_{cs} = الفلطية بين الموصى والدرع مبنية بالمعادلة التالية:

$$(10) \quad V_{cs} = R \times I_{sc}$$

وبتطبيق المعادلين (4) و(5) بشأن البعدين V_{io} و I_{sc} على التوالي، تصبح المعادلة (8) كالتالي:

$$(11) \quad K_{ss} = \frac{R \times T_1}{L_S} \text{ التي يصح تطبيقها على الدالة (11) } (L_S/R) >> T_1$$

حيث:

K_{ss} = قيمة عامل التدريع ذي الصلة بالدرع (R مقاومة الدرع محسوبة بالأوم (Ω)).

ملاحظة - يصح تطبيق المعادلة 10 على الدروع الأنبوية. أما بالنسبة للدروع المضفرة، فهي معادلة تقريرية.

ويمكن تقدير قيم تيارات التمور لمساحات عروات مختلفة مع مراعاة اختلاف قيم كل من فلطية تمور المستحث واستحثاث العروة (انظر القسمين الفرعيين A.2.A و A.3.A).

3.7 ضرب الصاعقة مباشرة خطوط الاتصالات أو التشوير

يُحتمل وجود حالتين هما:

(أ) نقطة ضربة الصاعقة بعيدة عن المبنى؛

(ب) النقطة قريبة من المبنى.

ويُوصى تيار الصاعقة المتغلغل داخل خط الاتصالات أو التشوير في كلتا الحالتين بشكل موجة قدره $350/10 \mu s$ وقيمة الذروة I_f . وبإهمال آثار الانتشار، فإن من المفترض أن يكون للتيار المتوقع مروره بمختلف مواقع الشبكة (بنية البدالة أو بنية الريون أو الموقع البعيد) نفس قيمة شكل الموجة $350/10 \mu s$.

وبالنسبة للحالة (أ)، يتم الحصول على تيار الذروة الكلي المار بالخط في أسوأ الحالات بمضاعفة مقدار الفلطية المابطة من الخط إلى الأرض وقسمته على معاوقة تمور الخط (مثلاً، $2 \times 400 \Omega / kV = 500 A$)؛ وهذه الحالة التي هي الأسوأ مستقلة عن السويات LPL من I إلى IV، غير أن تحليل الحالة (ب) ينطبق عليها في حال كان الخط مدرعاً وكان الدرع مؤرضاً دورياً.

وينبغي في الحالة (ب) مراعاة تقسيم تيار الصاعقة في كلا اتجاهي شبكة الاتصالات وأكياس العزل إلى الأرض. وكقيمة تقريرية أولى، يمكن التسليم بأن ما نسبته 50% من تيار الصاعقة (I_p) يتسرّب إلى الأرض في حين تنتشر النسبة المتبقية منه (50%) في كلا الاتجاهين بين خدمات n المجاورة بعضها البعض.

وفي حال عدم تدريع خط الاتصالات أو التشوير أو تسبيره داخل قناة معدنية، يقوم كل موصل من موصلات m التابعة للخط بنقل جزء متساوٍ (I_f) من تيار الصاعقة في ذروته والذي يمكن تقييمه بتطبيق المعادلة التالية:

$$(12) \quad I_f = \frac{0.25 \times I_p}{n \times m} \text{ خط غير مدرع}$$

حيث $n = 1$ أو 2 ؛ عند انطباق الحالة الأخيرة مثلاً، حينما تكون خطوط الاتصالات وخطوط الكهرباء قريبة من بعضها البعض، كتقاسمها نفس الأقطاب مثلاً.

وتتساوي القيمة التي يحصل عليها بواسطة المعادلة (12) القيمة التالية أو أقل منها:

$$(13) \quad I_f \leq 8 \times A \quad [\text{kA}]$$

حيث A مساحة المقطع المستعرض لموصل الاتصالات أو التشوير [محسوبة بالملليمترات المربعة $[\text{mm}^2]$].

أما فيما يتعلق بالخطوط المتغيرة المدرعة (أو المسيرة داخل قناة معدنية) والمؤرضة عند مدخل المبنى، فتحسب قيم ذروة (I_f) التيار المتغلغل داخل كل موصل من موصلات m بواسطة المعادلة الآتية:

$$(14) \quad I_f = \frac{0.25 \times I_p \times R_s}{n \times (m \times R_s + R_c)} \quad \text{لخط مدرع}$$

حيث:

R_s = المقاومة بالأوم لوحدة طول الدرع أو القناة المعدنية;

R_c = المقاومة بالأوم لوحدة طول الموصل.

ويتناسب تقريرياً توتر الدارة المفتوحة بين الموصل والدرع مع ناتج مقاومة الدرع ومع الجزء من تيار الصاعقة المار بالدرع والمحدد بالتوقف المفاجئ لفلطية الموصلات الرئيسية بالنسبة إلى الدرع (مثل $Kv 5$). وفي حال تأريض الدرع دورياً، يتعرض تيار الدرع للتوهين بسبب ابعاده عن نقطة الصعق. و يؤدي انتشار التموج على امتداد الكبل إلى حدوث تشتت وزيادة وقت الإخماد.

وبالنسبة للبنيات الحاوية للبدالات، تضرب الصاعقة عموماً خط المولائي (المكون من بضعة أزواج) بعيداً عن المبنى. ويمكن في هذه الحالة استعمال القيم المبينة في الجدول 2. وبالإمكان تطبيق المعادلات (12) و(13) و(14) المذكورة أعلاه في حالات معينة.

أما فيما يخص بنية الربون، فتحدث عموماً أسوأ حالة عندما تكون نقطة الصعق قريبة من المبنى. ويمكن في هذه الحالة استعمال القيم المقدرة على أساس المعادلات (12) و(13) و(14) المذكورة أعلاه.

ملاحظة - لا يتوفّر سوى القليل من المعلومات عن تيارات تموج ناجمة عن ضرب الصاعقة لخطوط الاتصالات مباشرة. ويشار في الدراسة الاستقصائية التي أجرتها كندا في الفصل 10 من كتيب الحماية من الصاعقة [1] إلى أن "الحدث ينصف قيمة الانحطاط A 300 μs جاء نتيجة لضررية صاعقة مباشرة لقطب كان على بعد 200 متر تقريراً من موقع مسابر بقطب كربوني، وكان هذا الموقع مجهزاً أيضاً بعداد مدرج بسواليات ومرقاب رقمي لأشكال الموجات. ولحقت بالكبل والقطب أضرار جسيمة". ولا تتوفّر معلومات عن قيمة ذروة تيار الصاعقة التي ضربت الخط. ولو افترضنا أن تيار التموج هذا البالغة قيمته 300 A قد نجم عن تيار صاعقة قيمته حوالي 30 kA، المقابل لاحتمال نسبة 50% عندئذ يمكن تقدير القيمتين المفترضتين بالسوية LPL III بمقدار 2 أو 1 kA على التوالي. ويمكن الحصول على نتائج مائلة بتطبيق المعادلة (6) بحيث تكون $n = 1$ و $m = 20$ عندما يكون تيار الصاعقة بمقدار 200 kA (السوية I LPL) أو 100 kA (السوية III LPL).

4.7 سقوط ومضات الصاعقة بالقرب من خطوط الاتصالات

1.4.7 جوانب عامة

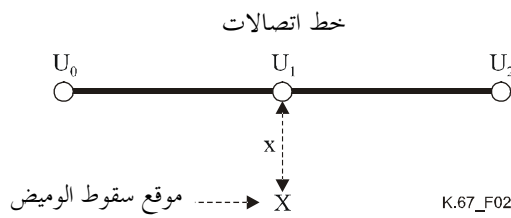
يعكف استناداً إلى إجراء عدة دراسات استقصائية في بلدان مختلفة على بحث قيم ذروة فلطيات التموج وتياراته المتوقعة أن تسبّب الصاعقة في بعض النقاط الانتقالية لشبكة الاتصالات. وترتّد نتائج هذه الدراسات في الفصل 10 من كتيب الحماية من الصاعقة [1].

ومطلبات القدرة على المقاومة الملزمة لتجهيزات الاتصالات المحددة في التوصيات K.20 و K.21 و K.45 الصادرة عن قطاع تقسيس الاتصالات في الاتحاد (ITU-T) هي مطلبات قائمة على نتائج الدراسات الاستقصائية المبينة في كتيب الحماية من الصاعقة [1].

ويقتصر تطبيق تدابير حماية إضافية (الحماية الأولية) على المنشآت "المعرضة لخطر الصاعقة" والخاضعة لعملية تقييم مخاطرها [2, 3].

ويبيّن الشكل 2 أسوأ حالات الاستحثاث التي تفترضها هذه التوصية حيث يكون موقع ومض الصاعقة في منتصف المسافة بين انتهائي الخط، وعلى مسافة تبعد بمقدار " x " عن خط الاتصالات الذي هو خط هوائي على ارتفاع 6 أمتر ($h = 6$).

ويقيّم فلطية التموج وتياراته الخطيرة المتوقعة في النقطة الوسطية وعند انتهائي الخط.



**الشكل 2/ K.67 – التشكيلة المرجعية لتقدير التموج المترافق
بفعل سقوط الصاعقة بالقرب من الخط (أسوأ حالة)**

وتحدد السوية SPL بالمعادلة التالية:

$$(15) \quad SPL = \frac{N_T(U_{SPL})}{N_T(U_R)}$$

حيث:

$=$ الفلطية المقابلة لسوية SPL المنتقاة؛ $= U_{SPL}$

$=$ فلطية مرتجعة (أقل من U_{SPL}) تحدد مستوى الفلطية بالنسبة لأدنى سوية لقدرة مقاومة التجهيزات الموصولة بالخط أو قدرة مقاومة عزل موصل الخط؛ $= U_R$

$=$ العدد الكلي لضربات الصاعقة التي تستحث فلطية مساوية لـ U أو أعلى منها.

ويرد حساب العدد N_T والفلطية U في الملحق B بالنسبة لخط هوائي غير مدرع وخط مدرع على حد سواء موضوع فوق تربة موصلة تماماً.

ويقترح الملحق B أيضاً كيفية تقدير تيارات الدارة القصيرة المصاحبة لفلطية التموج الخطيرة.

2.4.7 القيم المحسوبة (تربة موصلة تماماً)

ترد في الجدول 5 قيم ذروة فلطيات التموج الخطيرة للدارة المفتوحة والتيارات الخطيرة للدارة القصيرة المتوقع حدوثها عند النقاط الانتقالية P و C و D (القريبة من النقطة الوسطية) للخط هوائي غير المدرع فيما يخص مختلف سويات SPL. ويتبين أن شكل موجة فلطيات التموج وتياراته تبايناً كبيراً بتباين خصائص تيار الصاعقة (شكل الموجة وقيمة الذروة والسرعة) وبالتالي المسافة الفاصلة بين صعقة التفريغ والخط وخصائص الخط (توصيات التأريض، والتدريب، وما إلى ذلك). وتدعي الزيادة الطارئة في المسافة الفاصلة بين صعقة التفريغ والخط بالنسبة لتيار صاعقة ثابت وخط غير مدرع إلى تخفيض الفلطية والتيار المستحبثين وتطويل أشكال الموجات. وعلاوة على ذلك، يؤدي أيضاً تدريع الخط إلى تخفيض الفلطية والتيار المستحبثين وتطويل أشكال الموجات.

وتبلغ سرعة صعقة التفريغ العائدية في تيارات الصاعقة المدروسة في الجدول 1 ما مقداره $130 \mu\text{s}/\text{m}$ ، ويمكن تمثيل الفلطية المستحبثة المقابلة لمدى السويات SPL المنتقاة (أي، $0,01$ إلى $0,05$)، وشكل موجة الفلطية والتيارات المستحبثة عبر خط غير مدرع، بموجة أسيّة مضاعفة قدرها $20/8 \mu\text{s}$. وتقل قيمة الذروة في الخط المدرع بينما يطول شكل موجته، وبالتالي فإن الموجة الأسيّة المضاعفة للمقدار $700/10 \mu\text{s}$ هي موجة أكثر تمثيلاً.

ملاحظة – يُحسب شكل الموجة $20/8 \mu\text{s}$ لأي خط هوائي غير مدرع بالاستعانة بالمرجع [5]، على فرض أن سرعة صعقة التفريغ العائدية تساوي $130 \mu\text{s}/\text{m}$. أما في الخط المدرع، فيُسلّم بأن شكل الموجة مطابق للقياسات.

3.4.7 القيم المقيسة (تربة غير موصلة تماماً)

يعكّف في عدة بلدان على قياس فلطيات التموج وتياراته التي يمكن أن تظهر في شبكة النفاد، وترد معطيات القياس في الفصل 10 من كتيب الحماية من الصاعقة [1]. ويلخص الجدول 3 هذه المعطيات.

و جُمعت هذه المعطيات في الميدان من خطوط مكونة من خليط من الأقسام المدرعة المدفونة والهوائية وكثيراً ما جُمعت من قسم قصير غير مدرع قريب من الزبون (كبل التفريغ). وقيست معظم المعطيات على صعيد تجهيزات البدالة وأطراف المشتركين. وتمثل الفولطية U الواردة في الجدول 3 التوتر بين الزوج والدرع المقيس عند طرف البدالة ويمثل الرمز i_{sce} تيار الدارة القصيرة المصاحب، بينما يمثل الرمز U_s توتر الدارة المفتوحة بين الزوج (أو أحد موصلين الزوج) والأرض عند طرف الربون ويمثل الرمز i_{ses} تيار الدارة القصيرة المصاحب.

الجدول K.67/3 - قياس فلطيات تمور الدارة المفتوحة وتيرات تمور الدارة القصيرة عند طرفي البدالة والزبون

طرف الزبون		طرف البدالة		الاحتمال
[A] i_{ses}	[V] U_s	[A] i_{sce}	[V] U_e	
23	2300	17	860	0,01
16	1640	13	680	0,02
10	1020	8	480	0,05

ويمكن تقدير القيمتين التاليتين $\eta_{ss} = 0,05$ و $\eta_{se} = 0,1$ على فرض أن مقاومة الدرع هي $R_s = 5 \Omega$ و مقاومة الأرض لتوسيع الدرع بالأرض قرب الزبون هي $R_t = 400 \Omega$ و معاوقة التمور هي $Z = 100 \Omega$ بالنسبة للقسم المدفون وهي $Z = 400 \Omega$ بالنسبة للقسم الهوائي.

ومراجعة قيم عامل التدريع هذه، يمكن الاستناد إلى معطيات القياس في تقدير التوزيع المتور ($UR = 50V$) عند طرف البدالة والفلطية ($UR = 150V$) عند طرف الزبون. وترتدى القيم الخطيرة لذروة تمور الفلطية والتيرات في الجدول 4 بوصفها دالة SPL للسوية.

الجدول K.67/4 - قياس فلطيات التمور الخطيرة للدارة المفتوحة وتيرات التمور الخطيرة للدارة القصيرة عند طرفي البدالة والزبون

طرف الزبون		طرف البدالة		السوية SPL
[A] i_{ses}	[V] U_s	[A] i_{sce}	[V] U_e	
35	3500	20	1000	I
25	2500	15	750	II
15	1500	10	500	III

وتعد هذه القيم أيضاً في الجدول 5.

الجدول 5 / K.67 – فلطيات الدارة المفتوحة وتيارات الدارة القصيرة لكل موصل المتوقع حدوثها في مختلف عقد خط الاتصالات أو التشوير بفعل ومضات الصاعقة بالقرب من خط الاتصالات (S₄)

ومضات الصاعقة بالقرب من خط الاتصالات أو التشوير (أسوأ حالة) مصدر الضرر S ₄						SPL				
العقد A و S ₄ (مقيسة)	العقد D و A و S ₄ (القيمة = ηs المحسوبة)	العقد C و P و E و L (مقيسة)	العقد E و L و C و P (القيمة = 0,05 المحسوبة)	العقد A و S ₄	العقد C و P و E و L					
خط مكون من أقسام مدرعة مدفونة (العقد C-E)، وأقسام مدرعة هوائية (العقد D-C)، وأقسام غير مدرعة هوائية (العقد S-C)						خط غير مدرع (ملاحظة)				
التيار المستحث:	الفلطية المستحثة:	الفلطية المستحثة:	التيار المستحث:	الفلطية المستحثة:	الفلطية المستحثة:	التيار المستحث:	الفلطية المستحثة:	التيار المستحث:	الفلطية المستحثة:	
$\mu s 350/10$ [A]	$\mu s 700/10$ [kV]	$\mu s 10/700$ [kV]	$\mu s 350/10$ [A]	$\mu s 700/10$ [kV]	$\mu s 700/10$ [kV]	$\mu s 20/8$ [A]	$\mu s 20/8$ [kV]	$\mu s 20/8$ [A]	$\mu s 20/8$ [kV]	
35	3,5	6,4	20	1	1	160	64	110	44	I
25	2,5	3,4	15	0,8	0,75	85	34	60	23	II
15	1,5	1,4	10	0,6	0,5	35	14	25	10	III
ملاحظة – شروط الحساب: خط هوائي وتربة موصلة تماماً.										

الملحق A

التمورات المستحثة داخل المبني نتيجة سقوط الصاعقة بالقرب من المبني أو ضربها له

1.A الجوانب العامة

التمورات المستحثة بفعل الصاعقة داخل عروات مكونة بالتكبيل في منشأة معينة هي مسألة مهمة بالنسبة للكثير من توصيات السلسلة K الصادرة عن قطاع تقدير الاتصالات في الاتحاد (ITU-T). وتحتاج تمورات الصاعقة بأشكال موجاتها وقيم ذروتها.

ويبيّن التذيل الأول أشكال موجات فلطيات التمور المستحثة هذه على أساس نتائج القياسات التي نُفذت في أحد الواقع التجريبي.

وقيم ذروة فلطية الدارة المفتوحة (V_{io}) وتيار الدارة القصيرة (I_{io}) المستحثين داخل العروة هي قيم مقدرة في القسمين الفرعين 2.A و 3.A المتعلدين بسقوط ومضات الصاعقة بالقرب من المبني أو عليه على التوالي.

2.A سقوط الصاعقة بالقرب من المبني

يمكن بواسطة المعادلة (4) حساب قيمة ذروة فلطية الدارة المفتوحة (V_{io}) المستحثة في العروة الموجودة داخل المبني بفعل ضرب الصاعقة للمبني، حيث يتم التوصل إلى الاستحداث المتبادل (L_M) بتطبيق المعادلة التقريرية التالية (على فرض أن المجال المغناطيسي الساقط هو موجة مستوية) [3, 6]:

$$(1.A) \quad L_M = 0.2 \times \eta \times K_s \times h \times \ln\left(\frac{f+d+e}{f+d}\right) \quad [\mu\text{H}]$$

حيث (انظر الشكل 1.A):

عرض العروة أو ارتفاعها [بالأمتار]؛ = h

طول العروة [بالأمتار]؛ = e

المسافة الممتدة من قناة تفريغ شحنة الصاعقة إلى جدار المبني [بالأمتار]؛ = f

المسافة الفاصلة بين العروة وجدار المبني؛ = d

عامل تدريع درع المبني (درع المنطقة 1 للحماية من الصاعقة (LPZ 1))، حيث $w \geq 5$ = $\eta = w \times 0,12$

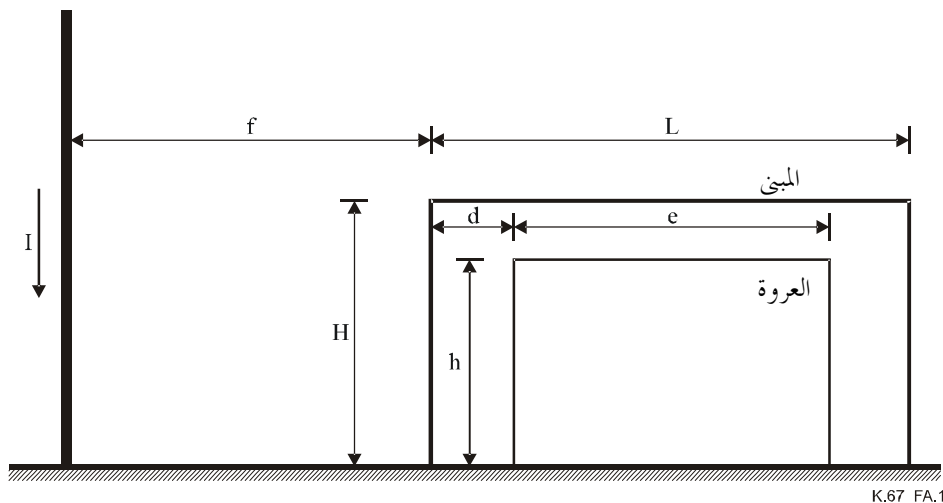
عرض تشابك الدرع الفضائي الشبيه بالشبكة [5, 6]؛

عامل تدريع يراعي أثر تدريع الكلب؛ = K_s

و:

قيمة ذروة حالات التفريغ اللاحقة (الجدول 1) [kA]؛ = Ips

زمن زيادة حالات التفريغ اللاحقة (الجدول 1) [μs] . = $0,25 = Tl$



الشكل K.67/1.A – تفريغ الصاعقة بالقرب من المبني

وقيمة ذروة تيار الدارة القصيرة (I_{sc}) في حال إهمال مقاومة أسلاك العروة المحسوبة بالأولم (أسوأ حالة) هي قيمة تُقدر بتطبيق المعادلة (5) أو (6)، حيث يُحسب استحثاث العروة الذاتي (LS) بالوحدة μH بتطبيق المعادلة التالية:

$$(2.A) \quad LS = 0.8 \times \sqrt{e^2 + h^2} - 0.8 \times (e+h) + 0.4 \times e \times \ln \left[\frac{\frac{2 \times h}{r}}{e + \sqrt{e + \left(\frac{h}{e} \right)^2}} \right] + 0.4 \times h \times \ln \left[\frac{\frac{2 \times e}{r}}{e + \sqrt{e + \left(\frac{e}{h} \right)^2}} \right]$$

حيث:

$$\text{نصف قطر سلك العروة [بالأمتار].} = r$$

وتقدير بواسطة المعادلة (4) فلطيات التمور الخطيرة المتوقع استحثاثها في العروة الداخلية.

وتحدد السوية SPL بالمعادلة التالية:

$$(3.A) \quad SPL = \frac{N_T(U_{SPL})}{N_T(U_R)}$$

حيث:

$$\text{الفلطية المقابل لسوية SPL المنتقاة;} = U_{SPL}$$

فلطية مرجعية (أقل من الفلطية U_{SPL}) تحدد أدنى سوية توفر لقدرة مقاومة التجهيزات الموصولة بالخط أو قدرة مقاومة عزل موصل الخط؛

العدد الكلي لضربات الصاعقة التي تسبب فلطية مساوية للفلطية U أو أكبر منها.

ويتم التوصل إلى العدد الكلي لضربات $N_T(U)$ (انظر الشكل 2.A) بتطبيق المعادلة الآتية:

$$(4.A) \quad N_T = 4 \cdot N_g \int_{R_o}^{\infty} \int_I^{\infty} \int_{-\pi/2}^{\pi/2} p(i) \cdot di \cdot \cos \theta \cdot d\theta \cdot x \cdot dx$$

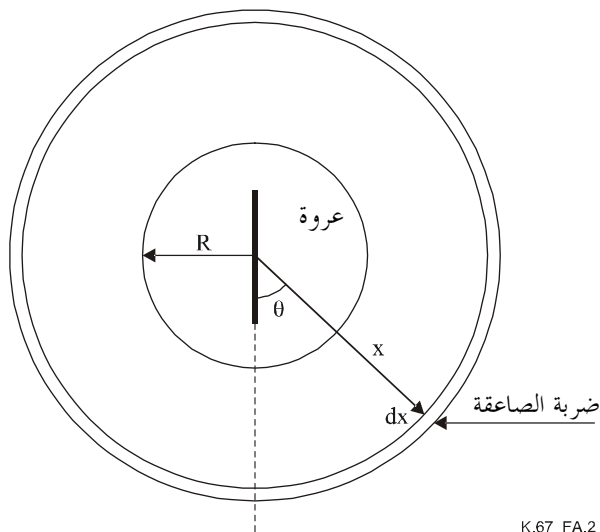
حيث:

$$\text{كثافة الومضات الساقطة على الأرض (عدد الضربات/km}^2 \text{ سنوياً);} = N_g$$

$$\begin{aligned} \text{أدنى مسافة ممتدة من العروة والتي عندها لن تضرب الصاعقة المبني مباشرة} &= R \\ (L/2 + 3H \leq R) \text{ (انظر الشكل 1.A)}; \\ \text{دالة احتمال تيار الضربة.} &= p(i) \end{aligned}$$

الملاحظة 1 - تبين التوصية K.47 الصادرة عن قطاع تقدير الاتصالات في الاتحاد (ITU-T) أن قيمة $p(i) = 10^{-2} e^{(a-bi)}$ بالنسبة للدالة $i \leq 0$, حيث "i" تيار ذروة تفريغ شحنة الصاعقة [kA] و $a = 4,605$ و $b = 0,0117$ بالنسبة للدالة i و $a = 20$ و $b = 0,0346$ بالنسبة للدالة $i < 20$ kA.

$$\begin{aligned} \text{الزاوية بين العروة وخط مستقيم واصل بين نقطة الضربة والعروة;} &= \theta \\ \text{المسافة الفاصلة بين نقطة الضربة ومركز العروة;} &= x \\ \text{تيار الذروة في نقطة الضربة الذي يستحوذ القلطيّة } U \text{ عند العروة والمستنبط بتطبيق} &= I_p \\ \text{المعادلة (4).} & \end{aligned}$$



K.67_FA.2

الشكل K.67/2.A - التشكيلة المرجعية لتقدير التصور المستحوذ داخل عروة بفعل سقوط الصاعقة بالقرب من المبني

وعلى فرض أن معظم نقاط ضربات الصاعقة تقع على بعد مسافة معينة من المبني لكي تكون الدالة $d+f \ll e$ ولذلك ففي $(f+d)/e \cong [(f+d+e)/(f+d)]$, ويمكن تدوين المعادلة (1.A) على النحو التالي:

$$(5.A) \quad L_M = 0.2 \times \eta \times K_s \times h \times \frac{e}{(f+d)} \cong \frac{W}{x}$$

حيث $x \cong f+d$ هو ثابت يتم الحصول عليه بواسطة المعادلة التالية:

$$(6.A) \quad W = 0.2 \times \eta \times K_s \times h \times e$$

ويؤدي حل الأعداد الصحيحة للمعادلة (4) وإدراج النتائج في المعادلة (3.A) وإجراء بعض العمليات الجبرية إلى الحصول على المعادلات التالية:

$$(7.A) \quad U_{SPL} \leq U_{LIM} \quad SPL = \left(\frac{U_R}{U_{SPL}} \right)^2 \frac{[(C_1 \cdot U_{SPL} + 1) \exp(a_1 - C_1 \cdot U_{SPL}) - D]}{[(C_1 \cdot U_R + 1) \exp(a_1 - C_1 \cdot U_R) - D]}$$

$$(8.A) \quad U_{LIM} < U_{SPL} \text{ و } U_{LIM} \geq U_R \text{ بالنسبة للذاتين SPL = } \left(\frac{b_1 \cdot U_R}{b_2 \cdot U_{SPL}} \right)^2 \frac{[(C_2 \cdot U_{SPL} + 1) \exp(a_2 - C_2 \cdot U_{SPL})]}{[(C_1 \cdot U_R + 1) \exp(a_1 - C_1 \cdot U_R) - D]}$$

$$(9.A) \quad U_{LIM} < U_{SPL} \text{ و } U_R \text{ بالنسبة للذاتين SPL = } \left(\frac{U_R}{U_{SPL}} \right)^2 \frac{[(C_2 \cdot U_{SPL} + 1) \exp(a_2 - C_2 \cdot U_{SPL})]}{[(C_2 \cdot U_R + 1) \exp(a_2 - C_2 \cdot U_R)]}$$

الملاحظة 2 – الحصول على هذه المعادلات الثلاث (7.A) و (8.A) و (9.A)، بدلاً من معادلة واحدة، هو نتيجة لتجزئة الدالة $p(i)$ at $i = 20$ kA (انظر الملاحظة 1).

حيث:

$$(10.A) \quad U_{LIM} = \frac{20 \cdot W}{R \cdot T_1}$$

$$(11.A) \quad C_1 = \frac{b_1 \cdot R \cdot T_1}{W}$$

$$(12.A) \quad C_2 = \frac{b_2 \cdot R \cdot T_1}{W}$$

$$(13.A) \quad D = \left(1 + 20b_1 - 20 \frac{b_1^2}{b_2} - \frac{b_1^2}{b_2^2} \right) \exp(a_1 - 20b_1) = 82.33$$

$b_1 = 4,605 = a_1$ و $b_2 = 5,063 = a_2$ و $b_1 = 0,0346$ هي معلمات الدالة (i).

ويُعبر عن الفلسطينيين U_{SPL} و U_R بالوحدة kV في المعادلات من (7.A) إلى (9.A).

ويُحصل على حالة محددة للسوية SPL فيما يتعلق بالدالة $R \rightarrow 0$ ، إذ تختزل في هذه الحالة المعادلات من (7.A) إلى (9.A) في الصيغة البسيطة المبينة في المعادلة (14-A)، حيث تكون الفلسطينية U_{SPL} مستقلة عن أبعاد العروة ومعلمات الدالة (i).

$$(14.A) \quad SPL = \left(\frac{U_R}{U_{SPL}} \right)^2$$

ويبين الجدولان 1.A و 2.A قيم الفلسطينية U_{SPL} التي يُحصل عليها. موجب المعادلات من (7.A) إلى (9.A) فيما يخص مختلف قيم السويات SPL والفلسطينيات U_R وأبعاد العروة والمبنى.

ويمكن الاستناد إلى نفس الأساس المنطقي من أجل استحثاث تيارات الدارة القصيرة داخل العروة. ومقابل المعادلات الناشئة عن ذلك المعادلات من (7.A) إلى (9.A) حيث تُستبدل الفلسطينيات U_R و U_{LIM} بالتيارات I_R و I_{LIM} وتُغير المعادلات من (10.A) إلى (12.A) لتصبح كالتالي:

$$(15.A) \quad I_{LIM} = \frac{20 \times W}{R \times L_S}$$

$$(16.A) \quad C_1 = \frac{b_1 \times R \times L_S}{W}$$

$$(17.A) \quad C_2 = \frac{b_2 \times R \times L_S}{W}$$

وُرُوعي لدى حساب القيم الواردة في الجدولين 1.A و 2.A موضوع انتباق الدالة (i) على أول تفريغ. وحسبما يرد في الجدول 1، فإن للتفريج اللاحق نفس توزيع التفريغ الأول، ولكن بقسمة التيارات على العامل 4 (أي أن قيمة 200 kA للتفريج الأول تقابل قيمة 50 kA للتفريج اللاحق، وهلم جراً). وعليه، وبالنظر إلى استعمال الدالة (i) لحساب المعادلات من

(7.A) إلى (9.A)، فقد ضُرب زمن ارتفاع التفريغ اللاحق المستعمل في حساب الفلطية U_{SPL} بالعامل 4، أي $T_1 = 1 \mu\text{s}$ ، من أجل التعويض عن الفرق في جسمة التيارات. وحسبت قيمة الفلطية U_{SPL} والشدة I_{SPL} للتفريغ اللاحق والتفريج الأول على التوالي.

الجدول K.67/1.A – قيم ذروة فلطيات التمور وتياراته المستحثة بفعل سقوط الصاعقة بالقرب من المبني في عروة بمساحة 25 m^2 موجودة داخل المبني

أبعاد المبني (بالأمتار)						SPL	
$0 = H - 0 = L$ (لا توجد بناء)		$5 = H - 15 = L$ (بنية صغيرة)		$50 = H - 25 = L$ (بنية كبيرة)			
(A) I_{SPL}	(V) U_{SPL}	(A) I_{SPL}	(V) U_{SPL}	(A) I_{SPL}	(V) U_{SPL}		
121	5000	112	4630	61	2520	I	
86	3540	82	3390	51	2100	II	
54	2240	53	2200	39	1610	III/IV	

ملاحظة – شروط الحساب: $1 = K_s$, $1 = \eta$; $(41.2 \mu\text{H} = L_s) = \text{mm } 0.5 = m$; $r 10 = m$; $e 2.5 = h$

الجدول A.67/2.A – قيم ذروة فلطيات التمور وتياراته المستحثة بفعل سقوط الصاعقة بالقرب من المبني في عروة بمساحة 50 m^2 موجودة داخل المبني

أبعاد المبني (بالأمتار)						SPL	
$0 = H - 0 = L$ (لا توجد بناء)		$5 = H - 15 = L$ (بنية صغيرة)		$50 = H - 25 = L$ (بنية كبيرة)			
(A) I_{SPL}	(V) U_{SPL}	(A) I_{SPL}	(V) U_{SPL}	(A) I_{SPL}	(V) U_{SPL}		
95	5000	93	4890	64	3370	I	
68	3540	67	3500	51	2690	II	
43	2240	43	2230	37	1920	III/IV	

ملاحظة – شروط الحساب: $.1 = K_s$, $1 = \eta$; $(52.4 \mu\text{H} = L_s) = \text{mm } 0.5 = m$; $r 10 = m$; $e 5 = h$

ويمكن حساب قيم الاستحثاث LS في مختلف العروة بتطبيق المعادلة (2.A). ويبين الجدول 3.A بعض نتائج المعادلة (2.A) فيما يخص أبعاد عروة مختلفة.

الجدول K.67/3.A – قيم الاستحثاث (L_s) محسوبة بالوحدة μH لمختلف أبعاد العروة

$m 10 = e$		$m 20 = e$		(m) h
mm $0,5 = r$				
29,7	41,2	54,6	75,3	2,5
19,1	28,7	37,5	56,4	0,5
9,2	18,5	18,4	36,9	0,05
6,4	15,7	12,9	31,3	0,025

3.A ضرب الصاعقة للمبني

في حال ضرب الصاعقة للمبني، يمكن النظر في الحالات الثلاث التالية:

(1) المبني محمي بنظام للحماية من الصاعقة (LPS) مكون من قضيب منفصل أحادي (مثل برج هوائي لحماية المخطة الأساسية الراديوية (RBS) الموجودة في الجوار)؛

(2) المبني محمي بنظام LPS متشارب ذي موصلات سفلية مفصولة عن بعضها البعض على امتداد المحيط؛

(3) المبني محمي بنظام LPS ذي درع فضائي شبيه بالشبكة بعرض تشارب قدره $w \geq 5 \text{ m}$.

ويمكن في الحالتين الأولى والثانية تقدير فلطية الدارة المفتوحة (V_{10}) المستحدث في العروة الموجودة داخل المبني بتطبيق المعادلة

(4)، حيث يتم التوصل إلى الاستحداث المتبادل L_M بواسطة المعادلة التالية [4، 6].

$$(18.A) \quad [\mu\text{H}] L_M = 0.2 \times K_c \times K_s \times h \times \ln\left(\frac{d+e}{d}\right)$$

حيث (انظر الشكل 3.A):

h = ارتفاع العروة [بالأمتار]؛

e = طول العروة [بالأمتار]؛

d = المسافة الفاصلة بين الموصلات السفلية وعروة الدارة؛

K_c = عامل يراعي تقاسم التيار فيما بين الموصلات السفلية؛

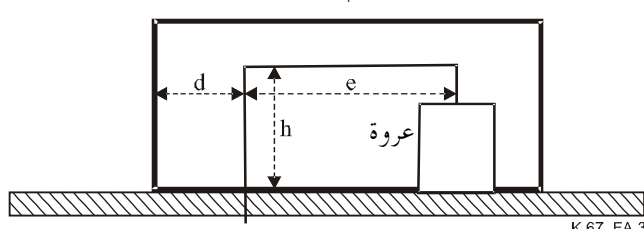
K_s = عامل تدريع يأخذ في الحسبان أثر تدريع الكبل؛

: و

قيمة ذروة حالات التفريغ اللاحقة (الجدول 1) [kA] = I_{ps}

زمن زيادة حالات التفريغ اللاحقة (الجدول 1) [μs] = $0.25 = T_1$

نظام LPS



الشكل K.67/3.A – تفريغ الصاعقة في المبني:
نظام LPS بموصل سفلي واحد أو أكثر

ويفترض أن قيمة العامل $K_c = 1$ في حالة استعمال نظام LPS مع موصل سفلي واحد؛ أما في حالة استعمال نظام LPS مع عدّة موصلات سفلية [6]، فُطبّق العادلة التالية:

$$(19.A) \quad K_c = \frac{1}{2 \times n} + 0.3$$

حيث:

عدد الموصلات السفلية المفصولة عن بعضها البعض بمسافة متساوية حول المحيط. = n

أما في الحالة الثالثة لحماية المبني بنظام LPS ذي الدرع الفضائي الشبيه بالشبكة، فإمكان حساب قيمة ذروة فلطية الدارة المفتوحة المستحثة داخل العروة بتطبيق المعادلة (4) حيث يتم التوصل إلى الاستحداث المتبادل LM بواسطة المعادلة الآتية [4, 6] :

$$(20.A) \quad [\mu\text{H}] \quad L_M = 0.4 \times \pi \times K_s \times h \times \ln \left(\frac{d_w + e}{d_w} \right) \times K_h \times \frac{w}{\sqrt{d_r}}$$

حيث (انظر الشكل 4.A) :

المسافة التي تفصل العروة عن الجدار [بالأمتار] ؛ $= d_w$

المسافة التي تفصل العروة عن السقف [بالأمتار] ؛ $= d_r$

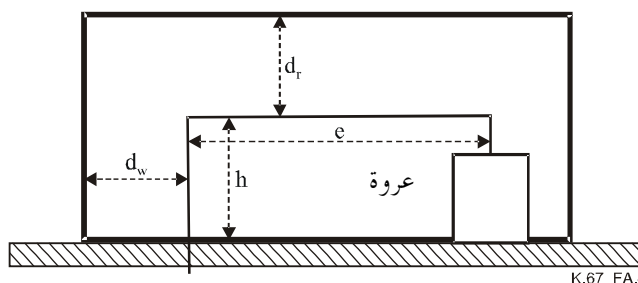
عامل تشكيل مساو لقيمة 0,01 [0,5m/1] ؛ $= K_h$

عامل تدرير يأخذ في الحسبان أثر تدريج الكلب؛ $= K_s$

: و

قيمة ذروة حالات التفريغ اللاحقة (الجدول 1) [kA] ؛ $= I_{ps}$

زمن زيادة حالات التفريغ اللاحقة (الجدول 1) [μs] . $= 0.25 = T_1$



الشكل K.67/4.A – تفريغ الصاعقة في المبني: نظام LPS بدرع فضائي شبيه بالشبكة

وتقدير قيمة تيار الدارة القصيرة (I_{sc}) في حال إهمال مقاومة أسلاك العروة المحسوبة بالألوم (أسوأ حالة) بتطبيق المعادلة (5) أو (6)، حيث يحسب استحداث العروة الذاتي (L_S) بالوحدة Henry H بمطبيق المعادلة (2.A).

وتعد في الجدول 4.A قيمتا الفلطية (V_{oi}) والتيار (I_{sc}) الناجحين عن التفريجين الأول واللاحق بوصفهما دالة للسوية LPL، على فرض أن المبني محمي بنظام LPS مكون من قضيب منفصل واحد (العامل $K_s = 1$ ، أسوأ حالة) والتكييل الداخلي غير مدرع وبعد العروة المستحثة هو $50 \text{ m}^2 = e \cdot m = 5 \text{ m}^2$.

الجدول K.67 / 4.A – قيم ذروة التمورات المستحثة بفعل ضرب الصاعقة للمبني مباشرة في عروة بمساحة 50 m^2 موجودة داخل المبني

حالات التفريغ اللاحقة		حالات التفريغ الأولى		LPL
I_{sc} [kA]	V_{oi} [kV]	I_{sc} [kA]	V_{oi} [kV]	
1,5	250	6	25	I
1,2	190	4,5	19	II
0,8	125	3	12,5	III/IV

شروط الحساب: $L_M = 0,792 \mu\text{H}$; $L_S = 4 \mu\text{H}$; $d = 1 \text{ m}$; $e = 5 \text{ m}$; $K_c = 1$; $K_s = 0.5 \text{ m}$

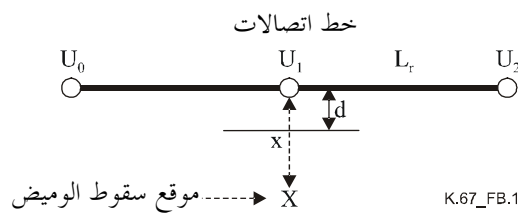
الملحق B

التمورات المستحثة على خطوط الاتصالات بفعل سقوط الصاعقة بالقرب من الخط: تربة موصلة تماماً

يتم الحصول على عدد حالات تفريغ الصاعقة في القسم الأولي " $dx \times L_r$ " التي تسبب فلطية مستحثة على خط الاتصالات متساوية لقيمة الفلطية U أو أكثر، بتطبيق المعادلة التالية:

$$(1.B) \quad N = 2 \times L_r \times N_g \times dx \int_I^{\infty} p(i) \times di$$

حيث N_g شدة الوميض الساقط على الأرض، و L_r طول الخط، و $p(i)$ دالة الاحتمال للتيار في نقطة الضربة على غرار ما يرد في التوصيتين K.25 و K.47 الصادرتين عن قطاع تقدير اتصالات في الاتحاد (ITU-T) وفي المعايير IEC 61663-1 الصادرة عن اللجنة الكهربائية الدولية (IEC)، و I تيار الذروة في نقطة الضربة الذي يبحث الفلطية U في نقطة معينة على الخط.



الشكل K.67/1.B – تشكيلة مجعية لتقدير التمورات المستحثة
بفعل سقوط الصاعقة بالقرب من الخط

ويمكن الحصول على العدد الكلي للضربات التي تسبب فلطية مستحثة متساوية للفلطية U أو أكثر بواسطة المعادلة الآتية:

$$(2.B) \quad N_T = 2 \times L_r \times N_g \int_d^{\infty} \int_I^{\infty} p(i) \cdot di \cdot dx$$

حيث d هي أدنى مسافة تبعد عن الخط ولن تعرضه لضربة صاعقة مباشرة. وتفترض هنا العلاقة التقريرية $d = 3h$ (الشكل 1.B).

ويمكن تقدير قيمة ذروة الفلطية U_1 المستحثة عند النقطة الوسطية للخط، وقيمة الفلطية U_0 أو U_2 ، المستحثة عند انتهائي الخط، بواسطة تطبيق المعادلين التاليين على فرض وجود تربة موصلة تماماً:

$$(3.B) \quad U_1 = \frac{30 \times I_p \times h}{d} \left(1 + \frac{v}{\sqrt{2 - v^2}} \right)$$

$$(4.B) \quad U_0 = U_2 = \frac{30 \times I_p \times h}{d}$$

حيث:

$$\text{قيمة ذروة تيار الصاعقة (محسوبة بالوحدة Ak)} = I_p$$

$$\begin{aligned} \text{النسبة بين سرعة صعقنة التفريغ العائدة (على فرض أن } v = \text{ m/s } 108 \times 1,3 = \text{ وسرعة} \\ \text{ الضوء (c) : m/s } 108 \times 3 = c \end{aligned} = v$$

$$v = 0.43 \text{ and } \left(1 + \frac{v}{\sqrt{2-v^2}}\right) = 1.3.$$

ويؤدي إدراج شدة التيار I_p المستمدّة من المعادلة (4.B) في المعادلة (2.B) وحل الأعداد الصحيحة وإدراج النتائج في المعادلة (15) وإجراء بعض العمليات الجبرية إلى الحصول على المعادلات التالية:

$$(5.B) \quad U_R \text{ and } U_0 \leq U_{LIM} \quad \text{حيث} \quad SPL = \frac{U_R [\exp(a_1 - A_1 U_0) - B]}{U_{SPL} [\exp(a_1 - A_1 U_R) - B]}$$

$$(6.B) \quad U_0 > U_{LIM} \text{ and } U_R \leq U_{LIM} \quad \text{حيث} \quad SPL = \frac{b_1 U_R [\exp(a_2 - A_2 U_0)]}{b_2 U_{SPL} [\exp(a_1 - A_1 U_R) - B]}$$

$$(7.B) \quad U_0 > U_{LIM} \text{ and } U_R > U_{LIM} \quad \text{حيث} \quad SPL = \frac{U_R [\exp(a_2 - A_2 U_0)]}{U_{SPL} [\exp(a_2 - A_2 U_R)]}$$

الملاحظة 1 – الحصول على هذه المعادلات الثلاث (5.B) و(6.B) و(7.B)، بدلاً من معادلة واحدة، هو نتيجة تجزئة الدالة i at $20 \text{ kA} = p(i)$ حيث:

$$\text{عامل تدريع الخط } (\eta) = 1 \text{ عندما يكون الخط غير مدرع} \quad = \eta$$

$$(8.B) \quad U_{LIM} = 600 h \eta / d$$

$$(9.B) \quad A_1 = \frac{b_1}{10\eta} = \frac{0.00117}{\eta}$$

$$(10.B) \quad A_2 = \frac{b_2}{10\eta} = \frac{0.00346}{\eta}$$

$$(11.B) \quad B = \left(1 - \frac{b_1}{b_2}\right) \exp(a_1 - 20b_1) = 52.37$$

$$\text{ويعبر عن الفلسطينيين } U_{SPL} \text{ و } U_R \text{ بالوحدة kV في المعادلات من (5.B) إلى (7.B).}$$

وتتحقق حالة محددة للسوية SPL فيما يتعلق بالدالة $0 \rightarrow d$ ، إذ تختزل في هذه الحالة المعادلات من (5.B) إلى (7.B) إلى الصيغة البسيطة المبينة في المعادلة (12.B)، حيث تكون الفلسطينية U_{SPL} مستقلة عن خصائص الخط ومعلمات الدالة $p(i)$.

$$(12.B) \quad SPL = \left(\frac{U_R}{U_{SPL}} \right)$$

ويبيّن الجدول 1.B قيم الفلسطينية U_{SPL} لختلف قيم السويات SPL والفلسطينيات U_R التي يتم الحصول عليها بواسطة المعادلة (5.B) بالنسبة لخط هوائي غير مدرع ($\eta = 1$).

الجدول K.67/1.B – قيم فلطية التمور الخطيرة (USPL) للدارة المفتوحة عند طرف خط هوائي غير مدرع بوصفها دالة للسوية SPL بالنسبة لمختلف قيم الفلطية المرجعية U_R

فلطية التمور الخطيرة، [kV] U_{SPL}			U_R (kV)
SPL			
0,05	0,02	0,01	
28	64	111	1,5
19	44	81	1,0
14	34	64	0,75
10	23	44	0,5
5	12	23	0,25

وتم في الجدول B.1 تثبيت الحد السفلي للفلطيات "الخطيرة" للدارة المفتوحة على ضعف قيمة الفلطية المرجعية ($2 \times U_R$) من أجل مراعاة الانعكاس على صعيد انتهائية الخط. فمثلاً، إذا كانت الفلطية $U_R = 0,75$ kV والسوية $SPL = 0,01$ ، فهذا يعني أن نسبة 1% من الفلطيات المستحبة على الدارة المفتوحة ذات القيمة الأكبر من $1,5$ kV هي نسبة مساوية للمقدار 64 kV أو أكبر منه.

وتقدير قيمة ذروة تيار الدارة القصيرة (I_{sc}) كالتالي:

$$(13.B) \quad I_{sc} = \frac{U_{SPL}}{Z}$$

حيث:

$$\Omega = Z = 400 \text{ هي معاوقة قبور الخط هوائي.}$$

ويمكن حساب قيم الفلطية U_{SPL} في أي خط هوائي مدرع باتباع نفس الطريقة المذكورة أعلاه عند تقدير قيمة عامل التدريع واستعمالها في المعادلين (9.B) و(10.B)، غير أن الاحتمال المطلق لحدوث الفلطية U_{SPL} الناتجة (عدد حالات التمور سنويًا) سيكون أقل بكثير من الفلطية U_{SPL} المقابلة بالنسبة للخط غير المدرع. وعليه، فإن الأكبر معقولية هو ضرب الفلطية U_{SPL} للخط غير المدرع في عامل التدريع من أجل الحصول على الفلطية U_{SPL} للخط المدرع.

الملاحظة 2 – على سبيل المثال، إذا كانت السوية هي سوية II SPL، فهذا يعني أن نسبة 2% فيما بين جميع الفلطيات الأكبر من المقدار $kV 0,75$ الملاحظة على خط غير مدرع أثناء فترة زمنية معينة هي نسبة مكافحة للمقدار 34 kV أو أكبر منه وأن هذه النسبة 2% وتقابل التمورات N_T ، وبالتالي، بالنسبة لخط مدرع ($\eta e = 0,1$) ضمن نفس السوية II SPL وأثناء ذات الفترة الزمنية تكون التمورات N_T مكافحة للمقدار 34 kV أو أكبر منه. ومع ذلك، تجدر الإشارة إلى أنه من بين جميع الفلطيات الأكبر من المقدار $0,75$ kV الملاحظة عبر هذا الخط المدرع أثناء فترة زمنية معينة تكون نسبة تزيد على 2% من الفلطيات مساوية للمقدار $4,3$ kV أو أكبر منه.

وأدرجت القيم الناتجة لبعض عوامل التدريع في الجدول 5، ولا سيما عامل التدريع ذي الصلة بالدرع ($\eta e = 0,05$) بالنسبة لعقد L و E و P و C و عامل التدريع ذي الصلة بالأرض ($\eta e = 0,1$) فيما يخص العقد D و I.

الملاحظة 3 – قيم عامل التدريع ذي الصلة بالدرع على فرض أن مقاومة الدرع (R_s) تساوي 5Ω ، ومن ثم حسب بالمعادلة $Z/R_s = \eta s = 100/5 = 0,05$. أما عامل التدريع ذي الصلة بالأرض فقد قيم على افتراض أن مقاومة الأرض للدرع R_e تساوي 40Ω تقريباً، ومن ثم حسب أن $\eta e = 440/45 = (R_e + Z)/(R_e + R_s)$.

ويبين الجدول 2.B قيم الفلطية U_{SPL} لمختلف قيم السويات SPL والفلطيات U_R بالنسبة لخط هوائي مدرع ($\eta e = 0,1$) والأساس المنطقي الموصوف سابقاً.

الجدول B.67/2 - قيم فلطية التمور الخطيرة (U_{SPL}) للدارة المفتوحة عند طرف خط هوائي مدرع بوصفها دالة للسوية SPL لمختلف قيم الفلطية المرجعية U_R

فلطية التمور الخطيرة، U_{SPL} [kV]			U_R (kV)
SPL			
0,05	0,02	0,01	
2,8	6,4	11	1,5
1,9	4,4	8,1	1,0
1,4	3,4	6,4	0,75
1,0	2,3	4,4	0,5
0,5	1,2	2,3	0,25

ويمكن تقدير قيمة ذروة تيار الدارة القصيرة (I_{sc}) بواسطة المعادلة (13.B) حيث Z التي تساوي 50Ω أو 100Ω هي معاوقة تمور دارة الدرع - الموصى أو دارة الموصى - الأرض على التوالي، اللتين تؤخذان تجريبياً من القياسات.

I التذليل

التمورات المستحثة داخل المبنى بفعل سقوط الصاعقة بالقرب من المبنى أو عليه: التشكيلة التجريبية والنتائج

1.I مقدمة

يهدف هذا التذليل إلى تأكيد الافتراض القائل إن لشكل موجة الفلطية المستحثة بفعل الصاعقة داخل عروة مفتوحة زمن ارتفاع ومرة قصرين جداً وإن شكل موجة التيار المستحث بفعل الصاعقة داخل عروة مغلقة هو شكل مطابق لشكل موجة تيار الصاعقة نفسه. وللقيام بذلك، يُستعان بمعطيات تجريبية مستمدة من موقع كاتشويرا باوليستا-البرازيل لتجارب إطلاق شحنات الصاعقة.

2.I الموجز النظري

تُؤخذ الافتراضات التالية بعين الاعتبار:

- تكون العروة قريبة نسبياً من قناة تفريغ شحنة الصاعقة، بحيث يمكن اعتبار التيار منتظمًا على امتداد القناة (يتبع هذا الافتراض إمكانية إهمال آثار انتشار تيار الصاعقة على امتداد القناة المذكورة).
- تعتبر الأرض بمثابة موصل تام بحيث يتسع تطبيق مبدأ التصوير المرئي على قناة تفريغ شحنة الصاعقة تحت سطح الأرض.
- يُهمل أثر الموصلات المعدنية (كخطوط الكهرباء مثلاً) التي قد تنقل جزءاً من تيار الصاعقة، وهذا يعني افتراض توزيع تنااري للتيار على سطح الأرض، مما يتبع تطبيق نظرية الصورة.
- يُنظر إلى العروة على أنها منخفضة المقاومة بالمقارنة مع مفاعيلها الحية عند الترددات المصاحبة لتيارات الصاعقة (ينطبق ذلك على معظم الحالات العملية).
- يُهمل جميع آثار الدرع حول العروة.
- يُهمل أي آثار لقناة تفريغ الشحنة عن الاتجاه العمودي.
- يُوضع العروة وقناة تفريغ الشحنة على نفس المستوى (وهذا افتراض متحفظ بشأن حجم التيار ولكنه لا يؤثر على شكل الموجة).

وبناءً على ذلك، يسري التيار المستحث بفعل الصاعقة (I_a) سريانًا منتظمًا على امتداد خط مستقيم عمودي (انظر الشكل I). ويكون مجال الاست簟 المغناطيسي (B) الناشئ عن هذا التيار في الشكل التالي:

$$(1.I) \quad B = \frac{\mu_0 \times I_a}{2 \times \pi \times x}$$

حيث:

x هي المسافة الفاصلة عن قناة التفريغ.

ويسهل إيجاد التدفق المغناطيسي في العروة عن طريق دمج المجال المغناطيسي في العروة ككل.

$$(2.I) \quad \phi_B = \frac{I_a \times h \times \mu_0}{2 \times \pi} \int_f^{f+e} \frac{dx}{x}$$

ويؤدي هذا إلى أن:

$$(3.I) \quad \phi_B = \frac{I_a \times h \times \mu_0 \times \ln\left(\frac{f+e}{f}\right)}{2 \times \pi}$$

وستتمد فلطية الدفع المستحدث (V) داخل العروة من المشتقه الزمنية للتدايق المغناطيسي كالآتي:

$$(4.I) \quad V = \frac{\left(\frac{dI_a}{dt} \right) \times h \times \mu_0 \times \ln\left(\frac{f+e}{f}\right)}{2 \times \pi}$$

ويمكن تدوين المعادلة (4.I) كما يلي:

$$(5.I) \quad V = L_M \times \left(\frac{dI_a}{dt} \right)$$

حيث:

ـ مما الاستحثاث المتبادل بين قناة التفريغ والعروة، الذي يتم الحصول عليه بتطبيق المعادلة التالية: L_M

$$(6.I) \quad L_M = \frac{h \times \mu_0 \times \ln\left(\frac{f+e}{f}\right)}{2 \times \pi} = 0.2 \times h \times \ln\left(\frac{f+e}{f}\right)$$

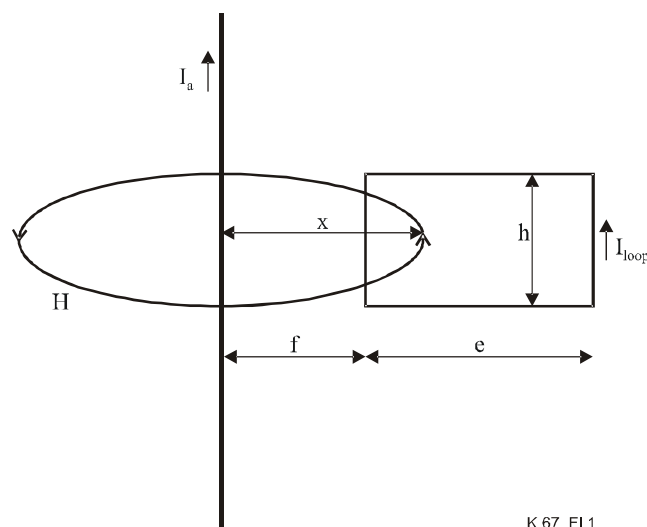
in μH

ويعبر عن التيار المستحدث I_{loop} بالمعادلة الآتية:

$$(7.I) \quad I_{loop} = \left(\frac{1}{L_S} \right) \int V dt = \left(\frac{L_M}{L_S} \right) \times I_a$$

حيث:

ـ استحثاث العروة الذاتي. L_S

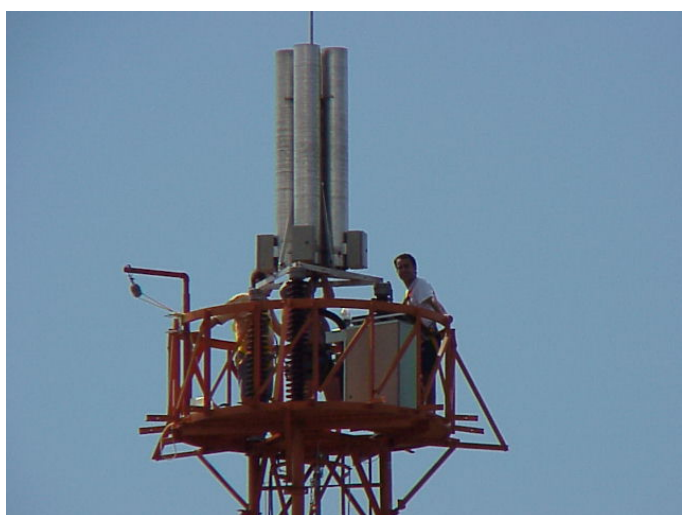


الشكل K.67/1.I – الاستحثاث داخل عروة

3.I موقع الاختبار التجاري وتشكيلة الاختبار

1.3.I موقع الاختبار التجاري

يبين الشكل 2.I أ) المقطة الأساسية الراديوية (RBS) لموقع الاختبار، حيث توجد في أعلى البرج منصة لإطلاق الصواريخ تستعمل لإطلاق شحنات الصاعقة. أما الشكل I.2 ب) فيتضمن رؤية مقرّبة لقمة البرج. والمنصة مدعاة بعوازل وموصلة بالمبني بموصى أحادي واحد يمر خلال مسياط لتيار Pearson (النقط 1330) يغذي مكشاف تذبذب موضوع داخل صندوق معدني قريب. ويسيطر السطح البيئي RS232 عن بعد على مكشاف التذبذب بمساعدة ألياف بصريه. ويؤمن هذا الأمر قياس تيار شحنة الصاعقة مباشرة.



ب) قمة البرج



أ) المقطة RBS لموقع الاختبار

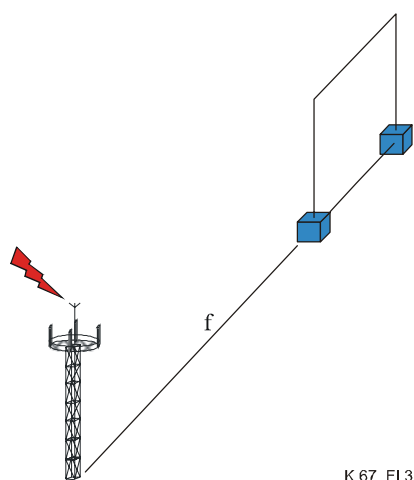
الشكل K.67/2.I - المقطة الأساسية الراديوية (RBS) لموقع الاختبار

2.3.I تشيكيلة الاختبار المعدة لقياس الفلطية المستحثة في عروة مفتوحة

يوضح الشكل 3.I تشيكيلة الاختبار التجاري التي تُطلق منها الصاعقة وتُسجل في قمة برج الاتصالات وتقيس الفلطية المستحثة في عروة موضوعة على بعد f من البرج. ومعطيات التشيكيلة هي كالتالي:

$$\text{أبعاد العروة: } e = 1,5 \text{ m} \quad m = 2,0 \text{ m} \quad h = 3 \text{ m} \quad (\text{مساحة العروة } 3^2 \text{ m}^2)$$

$$\text{المسافة بين العروة والصاعقة, } f = 100 \text{ m}$$

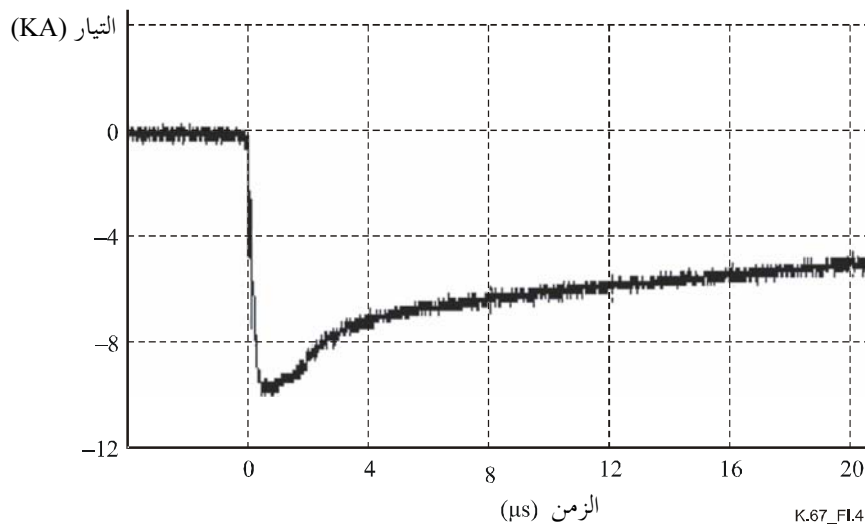


الشكل K.67/3.I - تشيكيلة الاختبار المعدة لقياس الفلطية المستحثة في عروة مفتوحة

ويبين الشكل I.4 تيار الصاعقة المقيس، وفيما يلي ملخص معلماته الرئيسية:

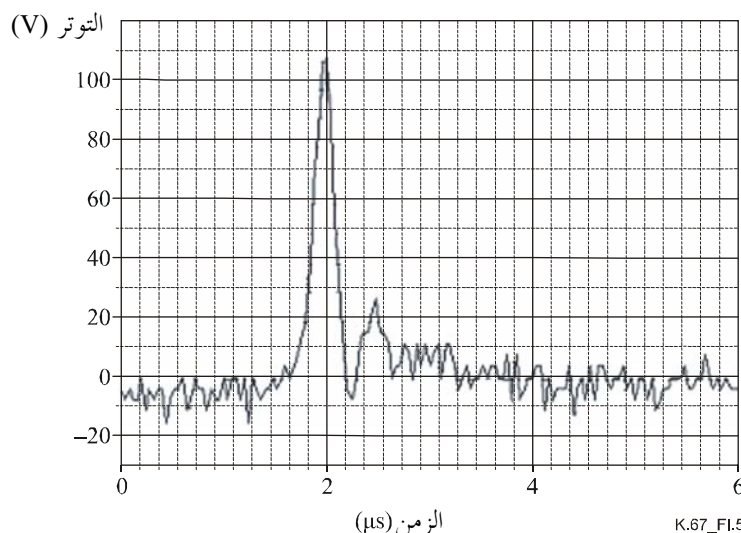
التيار: زمن الزيادة (T) = 0,375 ms;

قيمة الذروة (I_s) = 9,8 kA.



الشكل I.4 - إطلاق تيار الصاعقة

ويوضح الشكل I.5 التيار المقيس المستحث داخل العروة، حيث يمكن أن يلاحظ فيه أن زمن ارتفاع التيار المستحث في العروة المفتوحة هو زمن مشابه لزمن التيار المستحث (أي، 0,35 ms) وأن لشكل موجته مدة قصيرة للغاية، وهي ترد في ترتيب بضعة وحدات ms.



(المقياس الرمزي غير متزامن مع الشكل I.4)

الشكل I.5 - قياس الفلطية المستحثة في العروة

وبإدراج القيم العددية في المعادلة (I.4) واعتبار شكل موجة التيار مثابة شبه منحرف، فإننا نحصل على شكل موجة مستطيلة بمدة قدرها 0,375 μs وذروة بقيمة 157 V. وينبغي مقارنة هذه القيمة مع الشكل I.5، حيث يمكن أن يلاحظ فيه أنها أعلى قليلاً من القيمة المقسدة (110 V).

وبالإمكان اتباع طريقة أكثر استفاضة تستند إلى أعمال Rusck [1.I]. وتراعي هذه الطريقة انتشار التيار على امتداد قناة تفريغ الشحنة. وبتطبيق معادلات Rusck على مجال الاست簟ath المغناطيسي (B) عند مسافة معينة من الصاعقة وحساب مشتقاته الزمنية، يتم التوصل إلى ما يلي:

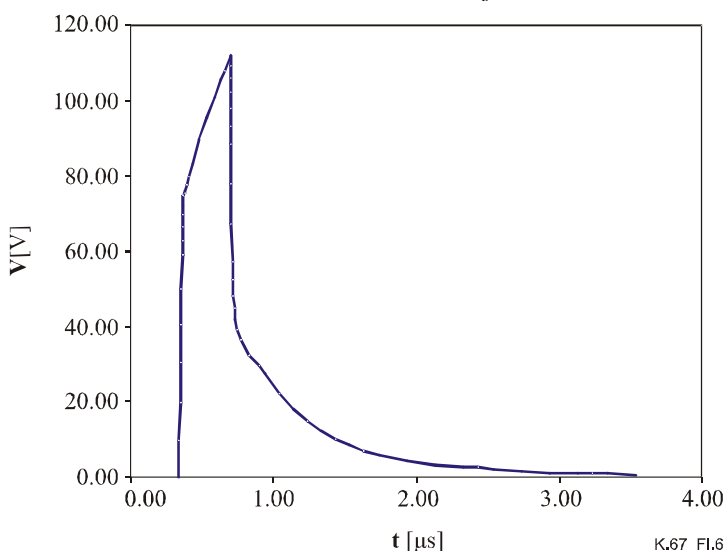
$$(8.I) \quad t \leq r_0/v_0 \quad \text{للدالة} \quad \frac{dB}{dt} = 0$$

$$(9.I) \quad r_0/v_0 \leq t \leq r_0/v_0 + T \quad \text{للدالة} \quad \frac{dB}{dt} = \frac{60I_0v}{r_0^2Tv_0} \left\{ \left[1 + \left(\frac{v}{v_0} \right)^2 \left[\left(\frac{v_0t}{r_0} \right)^2 - 1 \right] \right]^{-\frac{1}{2}} t \right\}$$

$$(10.I) \quad \frac{dB}{dt} = \frac{60I_0v}{r_0^2Tv_0} \left\{ \left[1 + \left(\frac{v}{v_0} \right)^2 \left[\left(\frac{v_0t}{r_0} \right)^2 - 1 \right] \right]^{-\frac{1}{2}} t - \left[1 + \left(\frac{v}{v_0} \right)^2 \left[\left(\frac{v_0(t-T)}{r_0} \right)^2 - 1 \right] \right]^{-\frac{1}{2}} (t-T) \right\}$$

$$t \geq r_0/v_0 + T \quad \text{للدالة}$$

و v_0 في المعادلين (9.I) و(10.I) هي سرعة الضوء في الفضاء الحر ($3 \times 10^8 \text{ m/s}$) و v هي سرعة انتشار تيار الصاعقة على فرض أنها تساوي $1.3 \times 10^8 \text{ m/s}$. وبإدراج القيم العددية في هاتين المعادلين، يتم التوصل إلى شكل الموجة المبين في الشكل 6.A. ولشكل الموجة هذا ذروة قيمتها 112 V وهي مطابقة تماماً للفلطة المقيسة.



الشكل 6.I - حساب شكل موجة الفلطة Rusck

ويمكن الخلوص على أساس المعادلين (9.I) و(10.I) إلى أن قيمة ذروة الفلطة المستحبثة داخل العروات القريبة نسبياً من نقطة ضرب الصاعقة ($T < v_0/f$) هي قيمة يمكن تقريرها بشكل مبرر من خلال اعتبار تيار الصاعقة على أنه تيار يسري بانتظام على امتداد القناة طبقاً لما يرد في المعادلة (4.I)، غير أنه إذا ابتعدت العروة عن نقطة ضرب الصاعقة، فإن الفلطة المستحبثة تنخفض تدريجياً عن القيمة المحسوبة بواسطة المعادلة المذكورة، لأن سرعة انتشار التيار تصبح معلومة مهمة. وينبغي في هذه الحالة تطبيق المعادلات من (8.I) إلى (10.I).

3.3.I تشكيلة الاختبار المعدة لقياس التيار المستحبث في عروة مغلقة

يوفر الشكل 7.I (أ) رؤية مقربة للمحطة RBS حيث يمكن أن يلاحظ فيها وجود عروة في أعلى المبني، وهذه العروة مكونة من أنبوب نحاسي بدارة قصيرة ويفقس تيارها بواسطة مسبار تيار Pearson (النقط 110) الذي يغذي مكشاف تذبذب

موضوع داخل المبنى الذي توجد فيه المحطة RBS. أما الشكل I.7 ب) فيبين إطلاق الصاعقة على قمة البرج المشاهد من داخل ملجاً مراقبة.



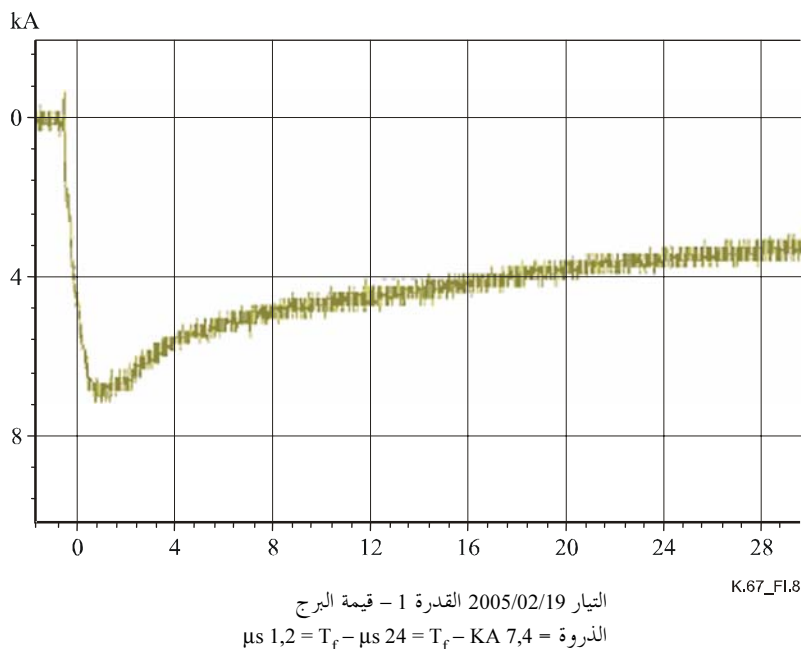
ب) إطلاق الصاعقة



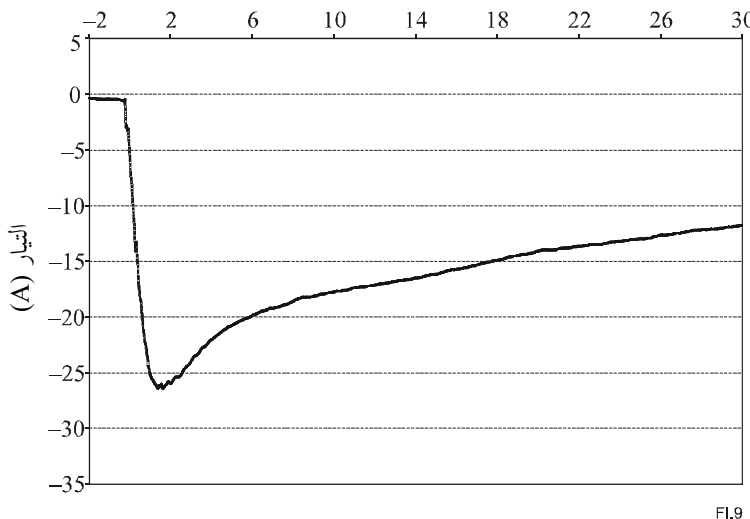
أ) مبني المحطة المجهز بعروة RBS

الشكل I.7 / K.67 - تشيكيلة الاختبار المعدة لقياس التيار المستحدث في عروة مغلقة

والموجات المسجلة آنـيـاً عند قمة البرج (الشكل I.8.I) وعنـد العروـة (الشكل I.9.I) موصوفـة بـقيـمة الذـروـة وـزـمـنـ الـتـنـاقـصـ إـلـىـ نـصـفـ الـقـيـمةـ (T_h) وـزـمـنـ الـارـتفـاعـ (T_f) الـخـدـدـةـ جـمـيـعـاـ عـلـىـ أـنـهـ بـمـقـدـارـ 1,25ـ (T_{90%} – T_{10%})ـ.



الشكل I.8/التوصية K.67 - تيار الصاعقة



التيار 19/02/2005 القدرة 1 – قيمة البرج
 $\mu s\ 1,3 = T_f - \mu s\ 24 = T_f - A\ 26,4$

FI.9

الشكل K.67/9.I – التيار المستحدث داخل العروة المغلقة

وتظهر المقارنة بين الموجات المسجلة عند قمة البرج وعند العروة تطابقاً جيداً للغاية فيما يخص شكل الموجة.

وفيما يلي المعطيات المتعلقة بموقع الاختبار:

- المسافة بين محور البرج والعروة: $f = 10,7$ أمتر؛
- ارتفاع العروة: $h = 0,80$ متر؛
- عرض العروة: $h = 1,00$ متر؛
- نصف قطر موصل العروة = 0,0075 متر.

ويحصل على الاستحداث المتبادل بين البرج والعروة بواسطة المعادلة (I.6) التالية:

$$L_M = 0.0143 \mu H$$

ويحصل على استحداث العروة الذاتي بتطبيق المعادلة (2.A) التالية:

$$L_S = 2.89 \mu H$$

وتيار العروة المتوقع الذي يتم التوصل إليه بواسطة المعادلة (I.7) بالنسبة لتيار الصاعقة $A = 7.04 kA$, هو التيار الآتي:

$$I_{loop} = 34.8 A$$

وتيار العروة المقيس (A) هو أدنى قليلاً (24%) من القيمة المتوقعة لأن الظروف الحقيقة لموقع الاختبار لا تستوفي تماماً الافتراضات النظرية الواردة في الفقرة الفرعية I.2. وثمة افتراض من بين هذه الافتراضات يسهم إلى أكبر حد في إحداث هذا الفرق يتمثل في وجود خط الطاقة الكهربائية الذي ينقل جزءاً من تيار الصاعقة بعيداً عن المحطة في اتجاه لا يقترب مع العروة. ومن أجل استنساخ قياس تيار الصاعقة، جرى التعويض عن هذه العوامل في كسب النظام المبلغ لميجايات القیاس.

وختاماً، فقد أثبتت التجارب أن شكل موجة التيار الذي تسببه الصاعقة في عروة مغلقة هو شكل مطابق لشكل موجة تيار الصاعقة ذاته وأن بالإمكان تقدير العلاقة القائمة بين قيمتي ذروتيهما من خلال إيجاد النسبة بين الاستحداث المتبادل والاستحداث الذاتي مثلما تبين ذلك المعادلة (7.I).

بیلیوغرافیا

- [I.1] RUSCK (S.): Transactions of the Royal Institute of Technology, No. 120, *Induced lightning overvoltages on power transmission lines with special reference to the overvoltage protection of low voltage networks*, Stockholm, 1958.

سلال التوصيات الصادرة عن قطاع تقدير الاتصالات

السلسلة A	تنظيم العمل في قطاع تقدير الاتصالات
السلسلة B	وسائل التعبير: التعريف والرموز والتصنيف
السلسلة C	الإحصائيات العامة للاتصالات
السلسلة D	المبادئ العامة للتعرية
السلسلة E	التشغيل العام للشبكة والخدمة الهاتفية وتشغيل الخدمات والعوامل البشرية
السلسلة F	خدمات الاتصالات غير الهاتفية
السلسلة G	أنظمة الإرسال ووسائله وأنظمة الشبكات الرقمية
السلسلة H	الأنظمة السمعية المرئية والأنظمة متعددة الوسائل
السلسلة I	الشبكة الرقمية متكاملة الخدمات
السلسلة J	الشبكات الكبليّة وإرسال إشارات تلفزيونية وبرامج صوتية وإشارات أخرى متعددة الوسائل
السلسلة K	الحماية من التدخلات
السلسلة L	إنشاء الكابلات وغيرها من عناصر المنشآت الخارجية وتركيبها وحمايتها
السلسلة M	إدارة الاتصالات بما في ذلك شبكة إدارة الاتصالات (TMN) وصيانة الشبكات
السلسلة N	الصيانة: الدارات الدولية لإرسال البرامج الإذاعية الصوتية والتلفزيونية
السلسلة O	مواصفات تجهيزات القياس
السلسلة P	نوعية الإرسال الهاتفي والمنشآت الهاتفية وشبكات الخطوط المحلية
السلسلة Q	التبديل والتشوير
السلسلة R	الإرسال البرقي
السلسلة S	التجهيزات المطراوية للخدمات البرقية
السلسلة T	المطاريف الخاصة بالخدمات التلماتية
السلسلة U	التبديل البرقي
السلسلة V	اتصالات المعطيات على الشبكة الهاتفية
السلسلة X	شبكات المعطيات والاتصالات بين الأنظمة المفتوحة ومسائل الأمان
السلسلة Y	البنية التحتية العالمية للمعلومات وملامح بروتوكول الإنترنت وشبكات الجيل التالي
السلسلة Z	اللغات والجوانب العامة للبرمجيات في أنظمة الاتصالات